

**IDENTIFICATION DE POSSIBLES MICRO-TECHNOLOGIE ET STRUCTURES
ARTIFICIELLES DANS LE VACCIN DE PFIZER PAR MICROSCOPIE OPTIQUE**



**ANALYSE AU MICROSCOPE
OPTIQUE ET REPORTAGE PHOTO**

Séville, Espagne, le 14 janvier 2022

Ricardo Delgado Martín
Diplômé en statistique. Spécialité Biostatistique - Université de Séville -

OBJECTIF DE LA RECHERCHE

L'objectif de ces travaux de recherche est l'identification de composés artificiels et de structures micro-technologiques qui pourraient être contenus dans le vaccin commercialisé sous le nom de Comirnaty Pfizer.

Pour ce faire, plusieurs objets visibles au microscope optique ont été photographiés et comparés à des articles de la littérature scientifique pour les besoins de cette analyse.

De plus, nous avons tenté d'identifier une grande variété d'objets compatibles avec des structures d'aspect graphénique en prenant en compte les caractéristiques et particularités de ce matériau, comme ses plis, reliefs, tension superficielle, etc.

Cette recherche est une approche basée sur la microscopie optique, permettant de caractériser ces structures dans les limites propres à la méthodologie et aux moyens utilisés.

Les micro-photographies ont été obtenues avec une qualité de grossissement **allant de 200X-1400X**. Une plus grande représentativité des échantillons à analyser avec la technique optique est requise pour tirer des conclusions ou généralisations sur le sujet de recherche.

Cependant, ce rapport constitue un élément à prendre en compte et qui devrait nécessairement être complété et élargi par des scientifiques et des laboratoires indépendants afin de clarifier quel est ce produit cible administré à toute la population civile de façon globale et simultanée.

INTRODUCTION

Les microtechniques et la nanotechnologie visant à former des nanoréseaux intracorporels ou prédisposés à cohabiter à l'intérieur des êtres vivants sont des objectifs scientifiques depuis plusieurs années, comme en témoigne la littérature scientifique dans ce champ disciplinaire. La nanotechnologie fournit un nouvel ensemble d'outils à la communauté des ingénieurs pour concevoir des composants à l'échelle nanométrique avec des fonctionnalités sans précédent. L'intégration de plusieurs nano-composants en une seule entité permettra le développement de nanomachines avancées.

Les nanogrids, c'est-à-dire les réseaux de nanomachines, permettront de nombreuses applications dans les domaines **biomédical, environnemental, industriel et militaire**.

Des dizaines d'articles scientifiques publiés jettent les bases de la communication électromagnétique par **graphène** dans les nano et micro-réseaux, y compris les micro-réseaux intracorporels.

https://www.researchgate.net/publication/269853754_Fundamentals_of_Electromagnetic_Nanonetworks_in_the_Terahertz_Band

https://www.researchgate.net/publication/282476793_Design_of_Wireless_Nanosensor_Networks_for_Intrabody_Application

<https://ieeexplore.ieee.org/document/7874136>

Les résultats obtenus indiquent que la **bande TéraHertz (0,1-10 THz) est la gamme de fréquences optimale pour le fonctionnement** des nouvelles nano-antennes.

D'autre part, **le graphène** est un matériau **capable d'absorber le rayonnement micro-ondes provenant des antennes de téléphonie** dans la bande GHz et d'amplifier son signal de trois magnitudes d'ondes sur l'échelle THz.

<https://cordis.europa.eu/article/id/124280-graphene-boosts-ghz-signals-into-terahertz-territory/es>

Depuis des années, une fréquence de coupure optimale pour les transistors au graphène a été atteinte à exactement **26 GHz**, la fréquence la plus élevée rapportée en utilisant ce matériau.

https://www.photonics.com/Articles/26-GHz_Graphene_Transistor/a35858

Nous savons également que notre gouvernement attend l'approbation de l'appel d'offres pour la nouvelle technologie 5G de la nouvelle bande commerciale, exactement à **26 GHz**.

<https://www.lamoncloa.gob.es/serviciosdeprensa/notasprensa/asuntos-economicos/Paginas/2021/271221-frecuencias.aspx>

Compte tenu des résultats obtenus dans la présente recherche et des travaux bien connus du Dr. Campra « *Rapport technique sur la détection du graphène dans les vaccins Covid par spectroscopie micro-raman* » où est mise en évidence, de manière concluante et sans équivoque, **la présence de graphène dans les échantillons obtenus à partir des flacons de Pfizer, AstraZeneca, Moderna et Janssen**, il est possible que **ce matériau non déclaré dans les flacons soit la base de l'implémentation de nano et micro-réseaux intracorporels dans la population mondiale**, en utilisant comme prétexte la situation actuelle.

https://www.researchgate.net/publication/355684360_Deteccion_de_grafeno_en_vacunas_COVID19_por_espectroscopia_Micro-RAMAN

De même, nous avons mentionné l'effet multiplicateur du **graphène** sur le rayonnement provenant des antennes de téléphonie mobile au-delà des radiations de Tcherenkov.

<https://aip.scitation.org/doi/abs/10.1063/1.4984961?journalCode=apl>

La dernière partie et conclusion de cette recherche soulignent que, sur la base de ces preuves et de la **toxicité de ce matériau** en fonction des rayonnements, la **maladie dite COVID19 est un syndrome d'irradiation aiguë renforcé par l'action du toxique lui-même qui est introduit dans les « vaccins »**, soit un effet collatéral de cette **opération nano et micro-technologique** à des fins inconnues de la société et dans la ligne de financement du *Graphene Flagship* ces dernières années.

<https://graphene-flagship.eu/graphene/news/european-opportunities-for-research-and-innovation-with-layered-materials/>

Cet article scientifique publié dans PubMed décrit les points communs entre la **maladie COVID19 et les lésions dues aux radiations**, ce qui explique que le **véritable agent étiologique ou responsable de la maladie n'est pas d'origine biologique et s'explique par ce composé chimique toxique, le graphène et ses dérivés**.

<https://www.ncbi.nlm.nih.gov/labs/pmc/articles/PMC7861125/>

MÉTHODOLOGIE UTILISÉE

Équipement de microscopie optique HAXON AQUILES II et caméra USB 2.0 Haxon H-Aptina 5.0



Caractéristiques:

- MICROSCOPE HAXON AQUILES II Modèle A-PTR203iH TRINOCULAIRE pour PÉTROGRAPHIE à éclairage RÉFLÉCHI et TRANSMIS.
- Tête trinoculaire de type Siedentopf pour POLARISATION (sans tension et polarisée)
- Multidirectionnel avec correction INFINITE, dispose de régulation inter-pupillaire et dioptrique.
- Répartition de la lumière de la tête fixe 80/20, 80% de la lumière vers les oculaires et 20% de la lumière vers la caméra.
- Adaptateur 0.5X et 1X pour caméra avec interface de filetage de monture C standard.
- Caméra USB 2.0 APTINA 5.0 mégapixels avec capteur haute performance APTINA MT9P001 et menu complet de configuration des paramètres, compatible avec le système d'exploitation Windows.
- Caméra USB2.0 dédiée. Résolution maximale 5,0 Mégapixels 2592H x 1944V. Taille de pixel 2.2x2.2 microns.
- Taux élevé d'images par seconde jusqu'à 15 ips à résolution maximale.
- Oculaires métalliques à champ large et haut relief de 10X/22mm corrigés pour une monture plane de 30mm.
- Oculaire auxiliaire réticulaire croisé 10X / 20mm pour des mesures de montage de 30mm.
- Revolver Quadruple avec système de centrage pour PÉTROGRAPHIE, sans roulements et avec marquage de positionnement précis.

Traduction de courtoisie effectuée par l'équipe de traducteurs de La Quinta Columna. Lien vers le document original ici:

<https://www.laquintacolumna.info/docs/docs/delgado-informe-identificacion-micro-tecnologia-patrones-artificiales-en-vacuna-es.pdf>

- Objectifs à plan achromatique à contraste élevé et correction à l'infini (IPCS - Infinity PLAN Correction System) de longue distance de travail (LWD long work distance).
- Pour la métallurgie sans tension pour POLARISATION, RMS et DIN45 de 5X, 10X, 20X et 50X.
- MODULE PÉTROGRAPHIQUE avec module de polarisation avec lentille de Bertrand.
- Analyseur réglable et glissières de compensation de quart lambda ($\lambda/4$), lambda complet (λ) et câble de quartz
- Platine rotative à 360° de 140mm pour la polarisation avec pinces porte-objets
- Condenseur d'Abbe O.N. 1.25. Spécial pour la polarisation avec polariseur réglable, réglable en hauteur avec un système à crémaillère, dispose d'un diaphragme.
- Module Pont MÉTALLURGIQUE pour éclairage RÉFLÉCHI avec POLARISEUR.
- Module bloc douille avec lampe halogène de 50 W avec alimentation externe de 50 W analogique.
- Système de mise au point macro avec régulation de tension et arrêt de hauteur pour éviter les collisions avec les objectifs.
- Système de micro-focalisation utilisant des couronnes et des pignons à rotation infinie et une précision de 2 microns par division, atteignant le maximum standardisé pour le laboratoire.
- Illuminateur de Köhler avec diaphragme et lentilles en verre frotté avec système de centrage réglable.
- Dispositif d'éclairage interne halogène haute puissance de 30 W avec réglage d'intensité et interrupteur de sécurité.

DESCRIPTION ET TRAITEMENT DES ÉCHANTILLONS ANALYSÉS

Trois flacons de Cominarty Pfizer montrés dans la photographie ci-dessous ont été analysés en utilisant les techniques décrites dans l'introduction.

Les échantillons ont été obtenus à partir de flacons scellés des vaccins **mRNA COVID 19 Cominarty Pfizer**. Tous les flacons étaient scellés au moment de la manipulation. Les échantillons des flacons respectifs ont été prélevés à l'aide de micro-seringues et d'aiguilles stérilisées neuves, en déposant sur la lame différentes aliquotes d'environ 10ul de chaque flacon.



Dans un premier temps, **les échantillons analysés semblent s'écouler dans une suspension ou un hydrogel qui maintient le flux et l'aquosité pour les composants qui les forment**. En fonction de la tension superficielle de la suspension, certains objets présentant des caractéristiques différentes sont visibles dans différents plans ou reliefs dans les différents échantillons analysés.

Tout au long de cette étude, **les images obtenues ont connu une évolution observable à travers l'analyse optique, en fonction du temps écoulé depuis leur exposition sur la lame, jusqu'à leur évaporation complète dans un environnement de météorisation**.

Après de larges intervalles d'observation au microscope optique, en utilisant différents filtres de lumières et qualités de grossissement, **des objets d'apparence graphénique (Annexe 1)** ont été observés dans différents plans de l'échantillon.

En outre, **certains objets d'apparence quadrangulaire et leur auto-assemblage en forme de zig-zag** (*Annexe 2*) sont observés au cours de l'étude en temps réel.

Cependant, après l'évaporation presque totale des échantillons, cette évolution donne lieu à **des structures plus complexes qui rappellent des formes artificielles typiques de la microtechnologie de nanoréseaux intracorporels, comme le rapporte la littérature scientifique** dans différentes publications (*Annexe 3*)

Note: Pour éviter tout type de contamination susceptible d'influer sur le résultat final de l'investigation, les échantillons ont été entreposés dans des locaux hermétiques pendant toute la durée de réalisation de l'étude, et les mesures hygiéniques les plus strictes ont été respectées dans le traitement des échantillons, depuis leur observation jusqu'à leur stockage et surveillance.

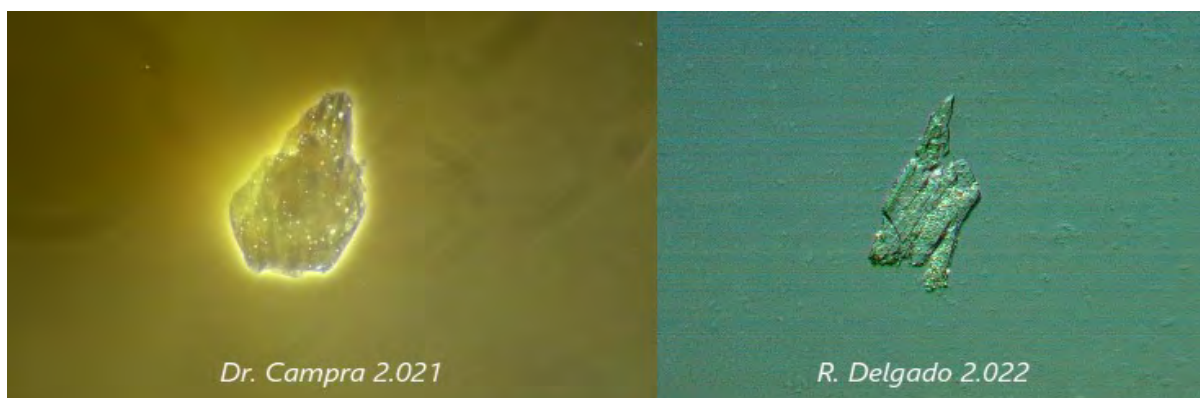
- ANNEXE 1-

IDENTIFICATION D'OBJETS COMPATIBLES AVEC LE GRAPHÈNE DANS L'ÉCHANTILLON

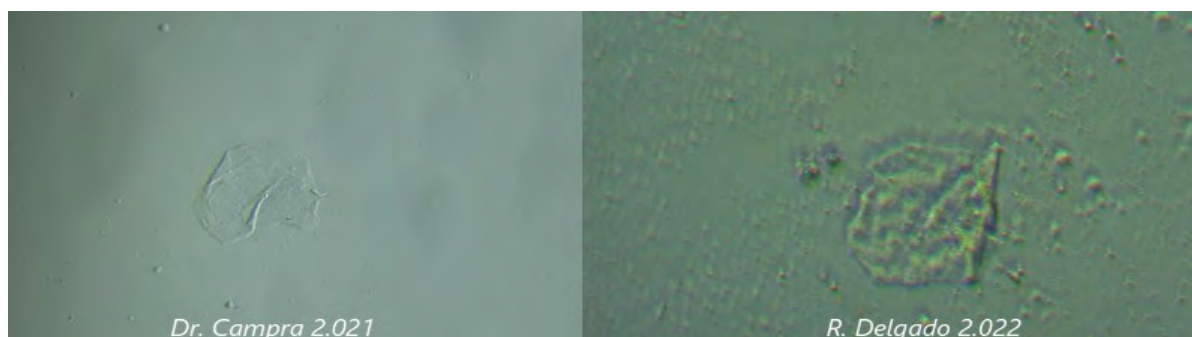
Vous trouverez ci-dessous un reportage photographique microscopique de quelques-uns des objets à l'aspect graphénique obtenus dans les différents échantillons. (Photographies 3 – 16)

Il convient de souligner le degré de similitude avec les images obtenues par le *Dr. Campra Madrid* dans son *Rapport préliminaire « Détection de l'oxyde de graphène en suspension aqueuse, étude observationnelle en microscopie optique et électronique. »* (Dr Campra, juin 2021, photographies 1 et 2)

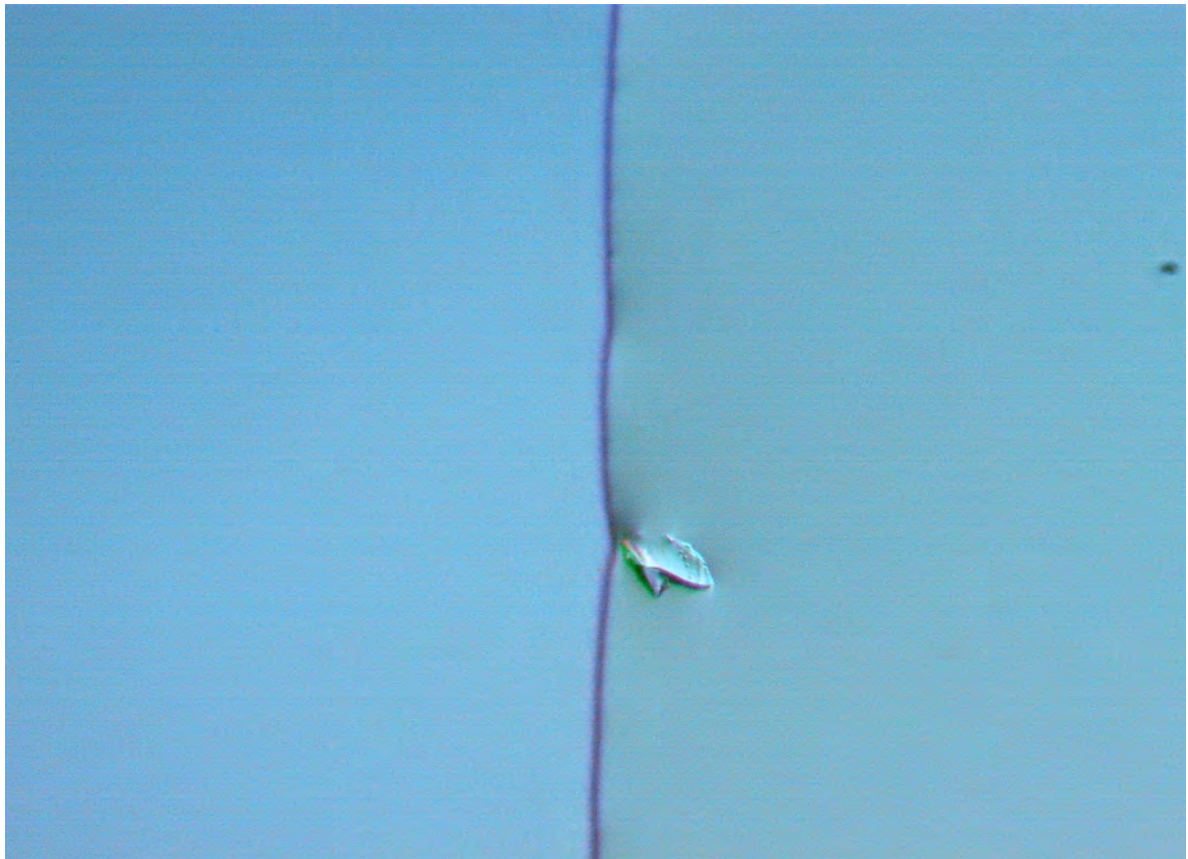
https://www.researchgate.net/publication/354059739_DETECCION_DE_OXIDO_DE_GRAFENO_EN_SUSPENSION_ACUOSA_COMIRNATYTM_RDIESTUDIO_OBSERVACIONAL_EN_MICROSCOPIA_OPTICA_Y_ELECTRONICAInforme_provisional_IANEXO_FOTOGRAFIAS



Photographie 1



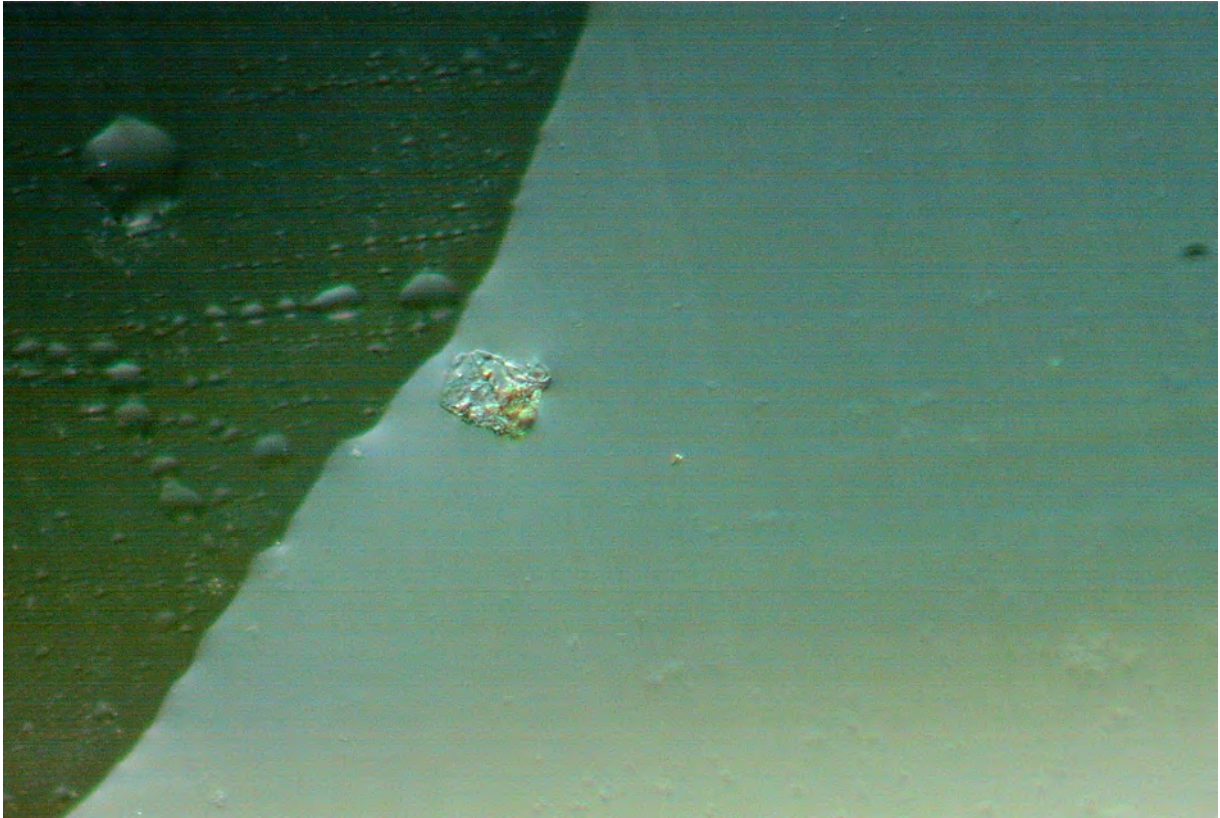
Photographie 2



R. Delgado 2.022 (Photographie 3)



R. Delgado 2.022 (Photographie 4)



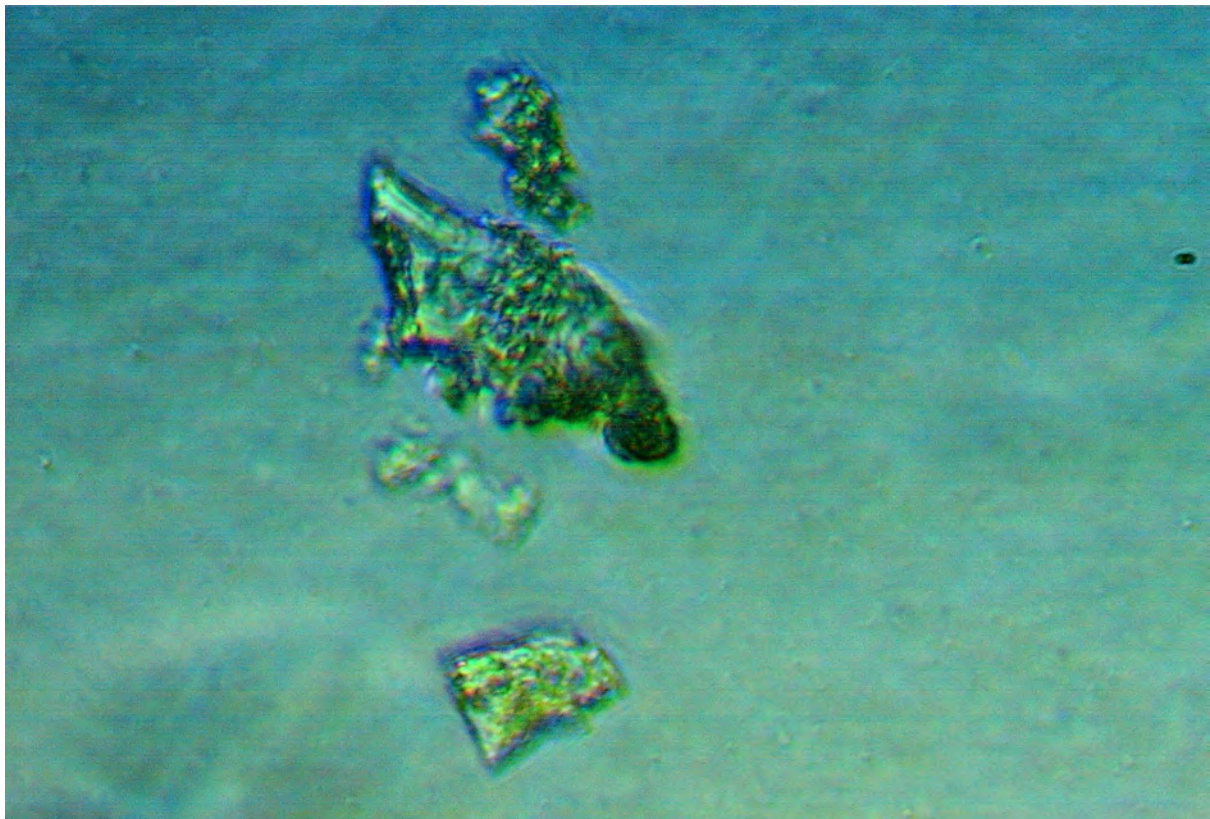
R. Delgado 2.022 (Photographie 5)



R. Delgado 2.022 (Photographie 6)



R. Delgado 2.022 (Photographie 7)



R. Delgado 2.022 (Photographie 8)



R. Delgado 2.022 (Photographie 9)



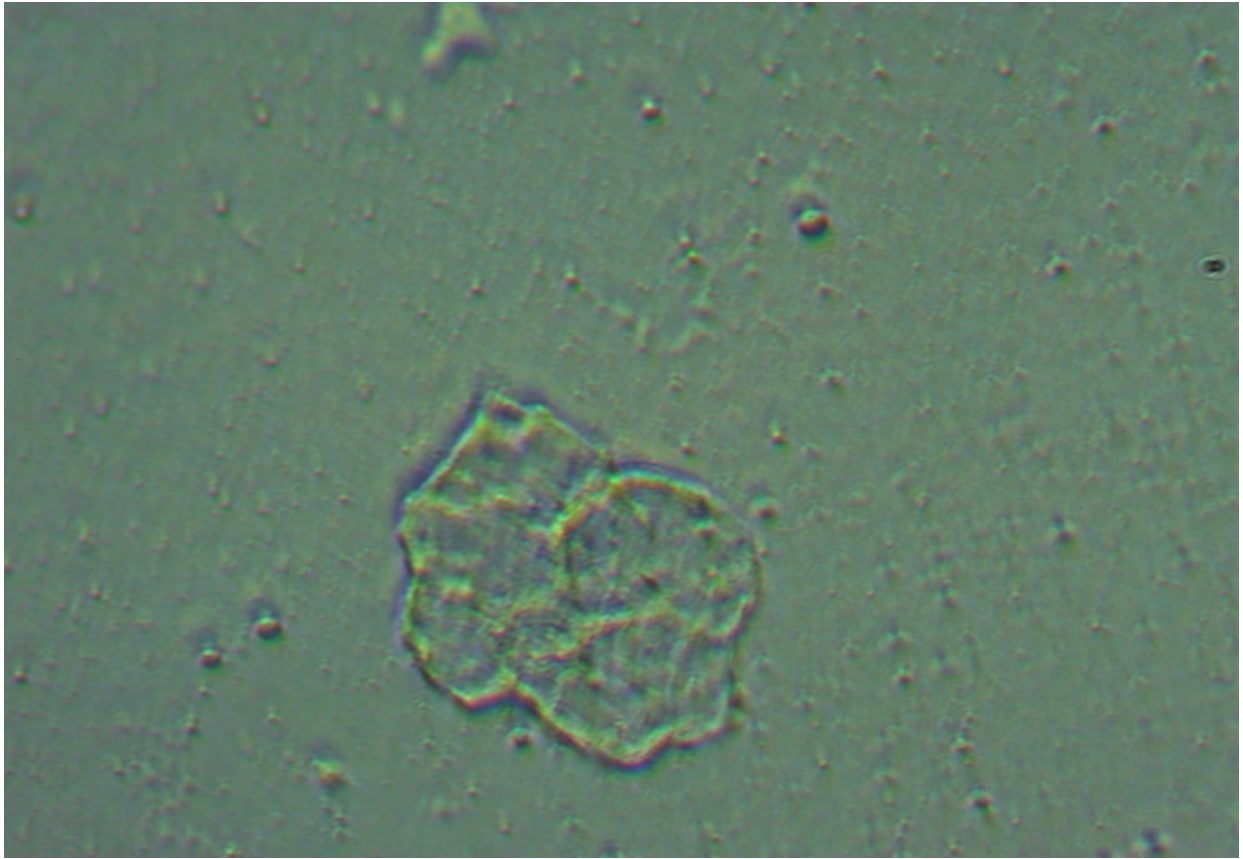
R. Delgado 2.022 (Photographie 10)



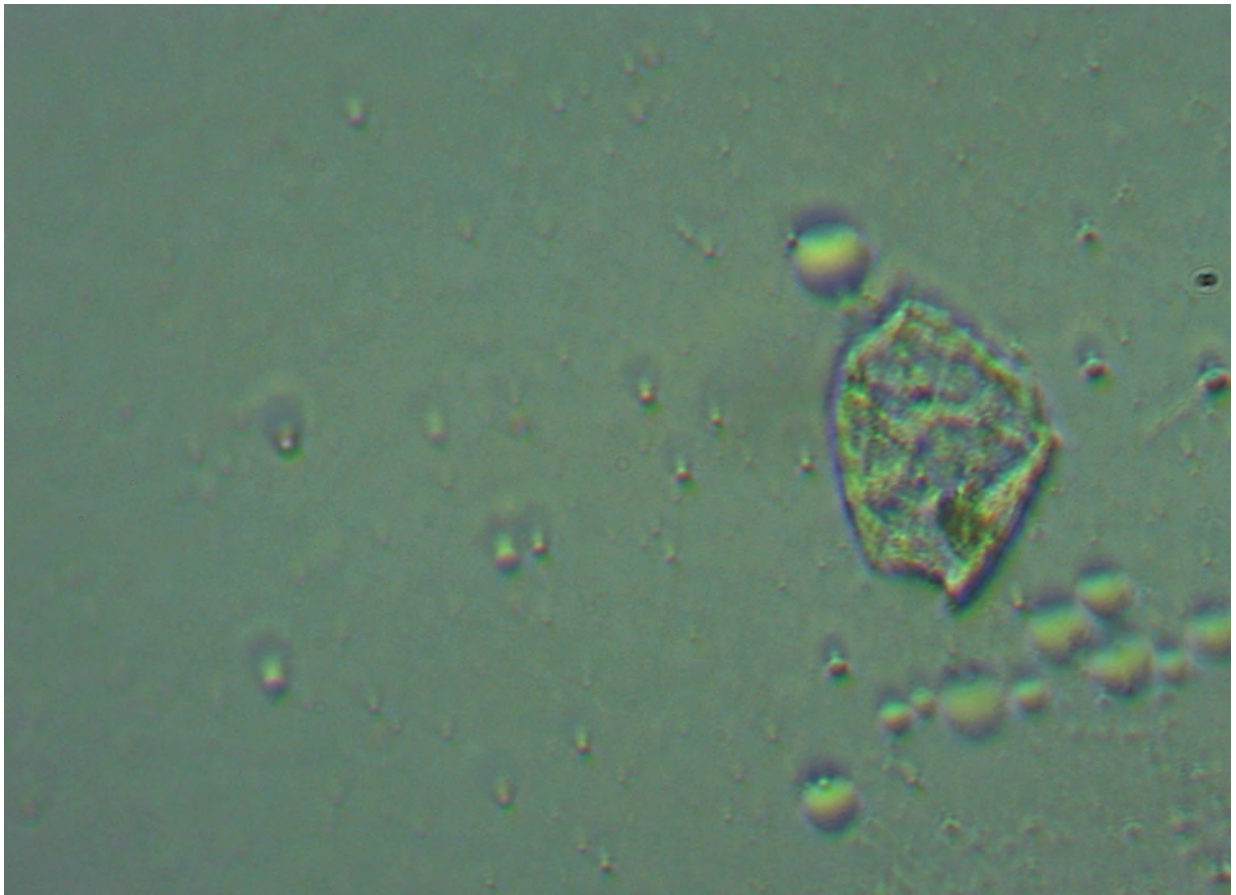
R. Delgado 2.022 (Photographie 11)



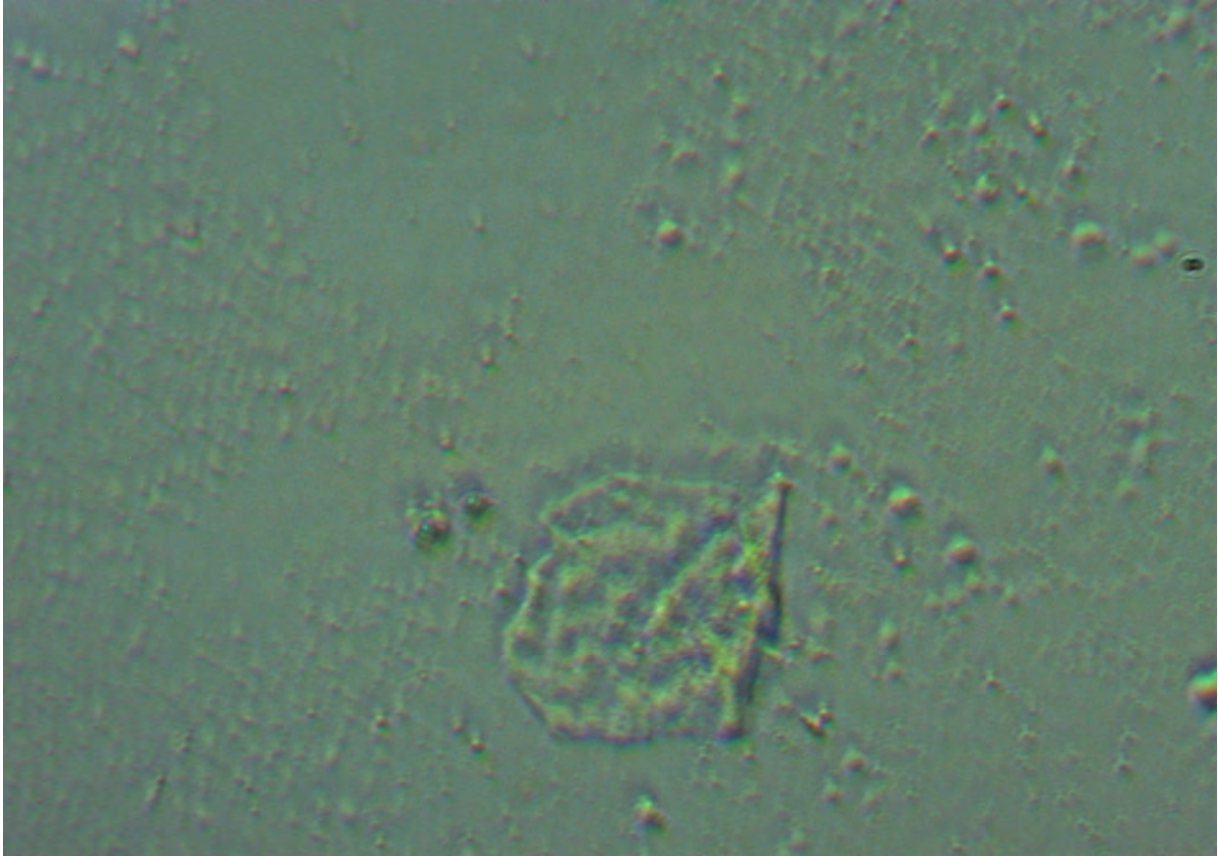
R. Delgado 2.022 (Photographie 12)



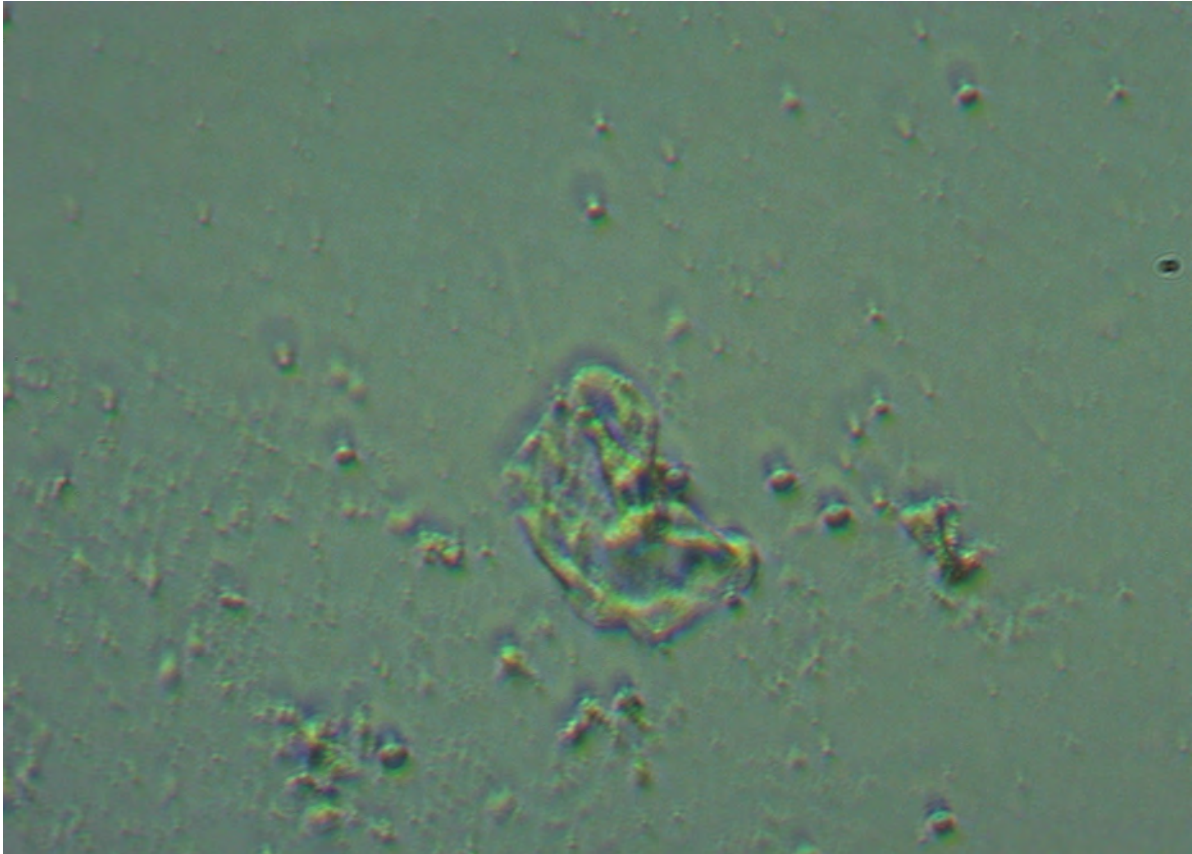
R. Delgado 2.022 (Photographie 13)



R. Delgado 2.022 (Photographie 14)



R. Delgado 2.022 (Photographie 15)



R. Delgado 2.022 (Photographie 16)

- ANNEXE 2 -

VISUALISATION DANS L'ÉCHANTILLON D'AUTO-ASSEMBLAGE D'OBJETS

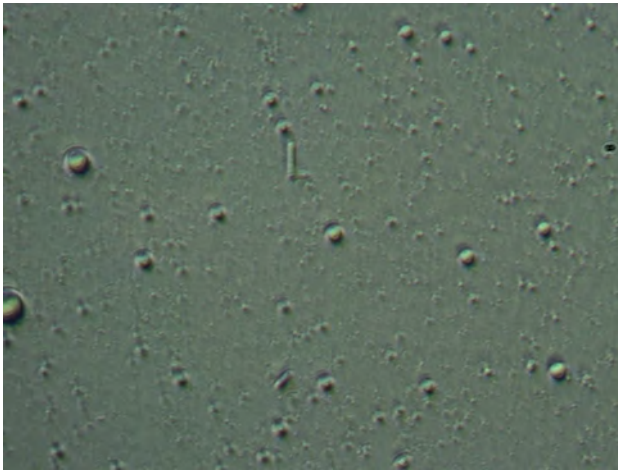
Ci-dessous, nous montrons des structures **auto-assemblées** dans les échantillons observés et leur évolution dans le temps. (*Photographies 17 – 31*)

La littérature scientifique recueille également le processus d'auto-assemblage de différents composants pour former des structures plus complexes dans le contexte des micro et nanotechnologies.

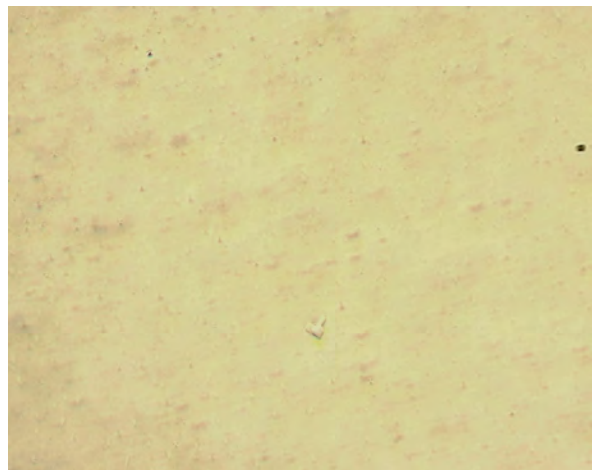
"Self-assembly as a key player for materials nanoarchitectonics".

<https://www.tandfonline.com/doi/full/10.1080/14686996.2018.1553108>. Katsuhiko Ariga, Michihiro Nishikawa, Taizo Mori, Jun Takeya, Lok Kumar Shrestha y Jonathan P. Hill (*Enero, 2.019*)

Remarque: L'étude est présentée avec un fichier téléchargeable au format vidéo mp4 permettant de comprendre ce qui est observé dans cette annexe.



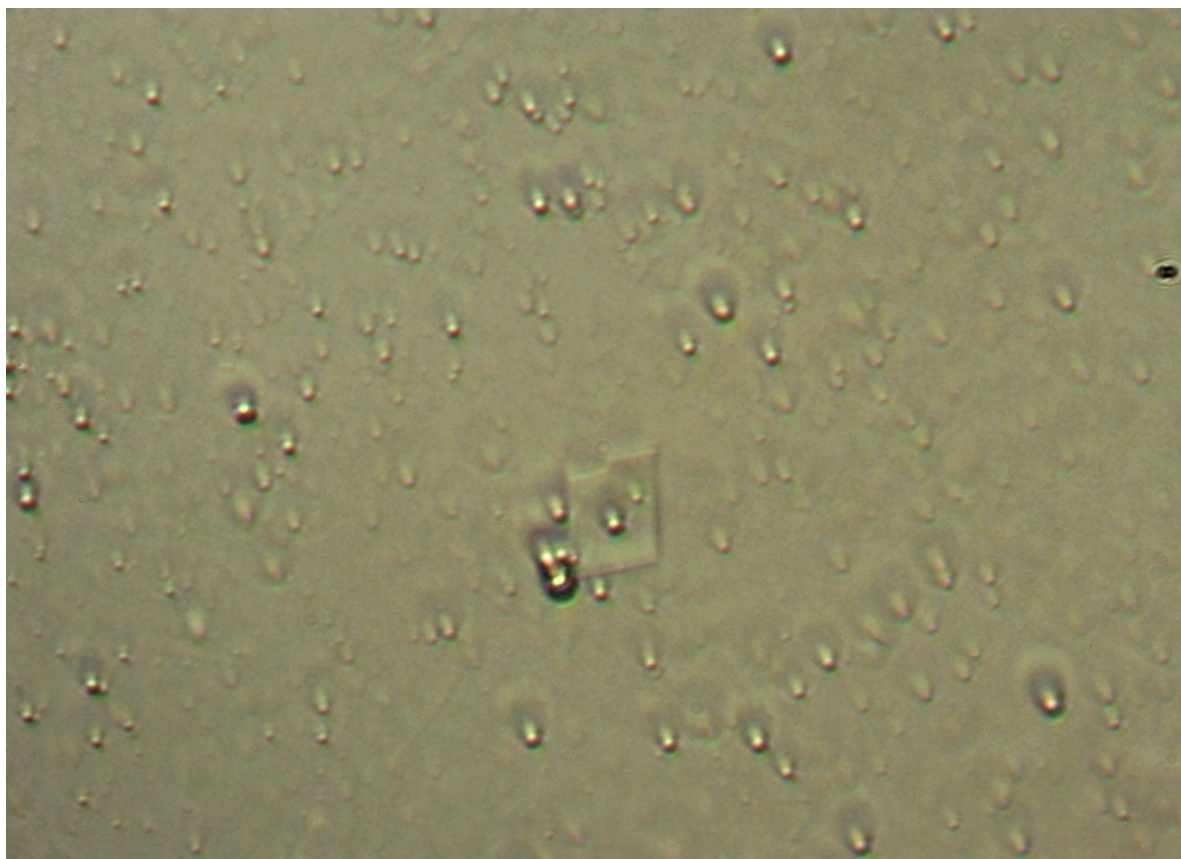
Photographie 17



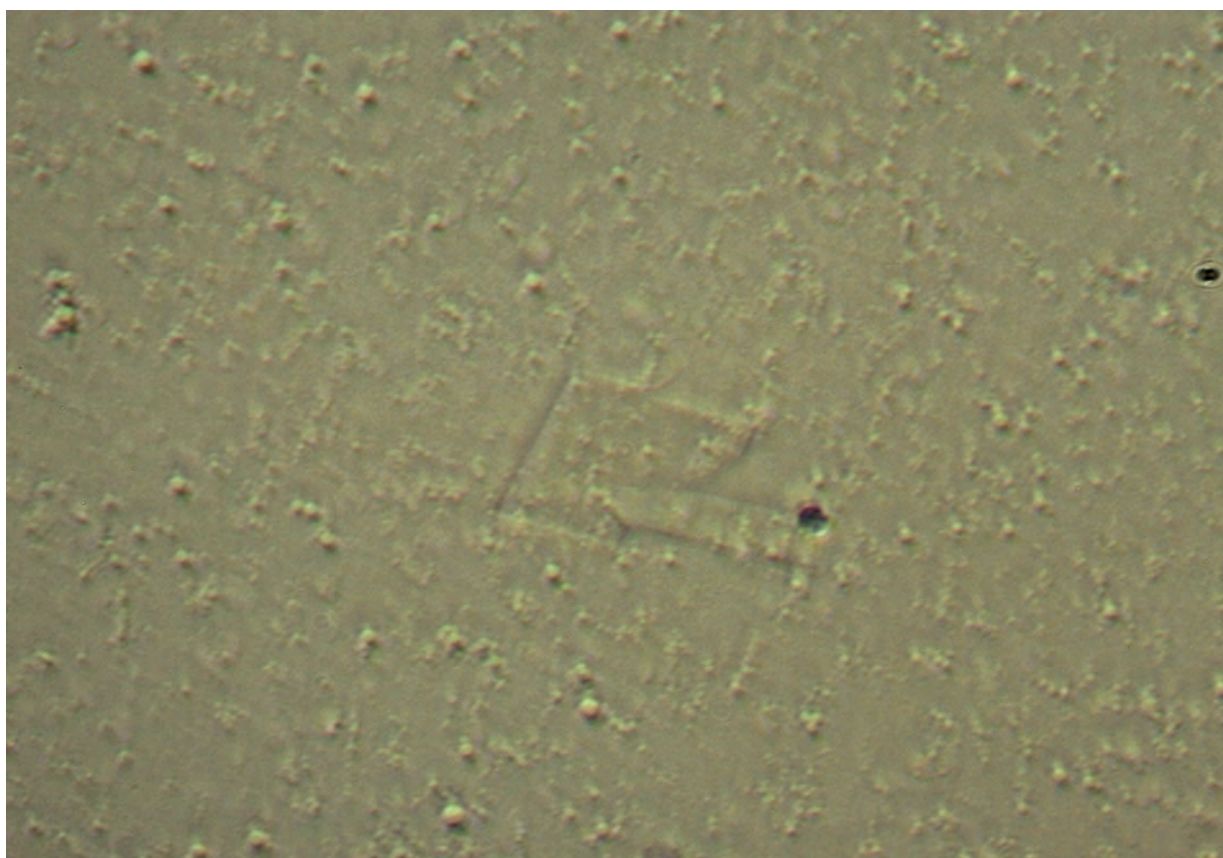
Photographie 18



Photographie 19



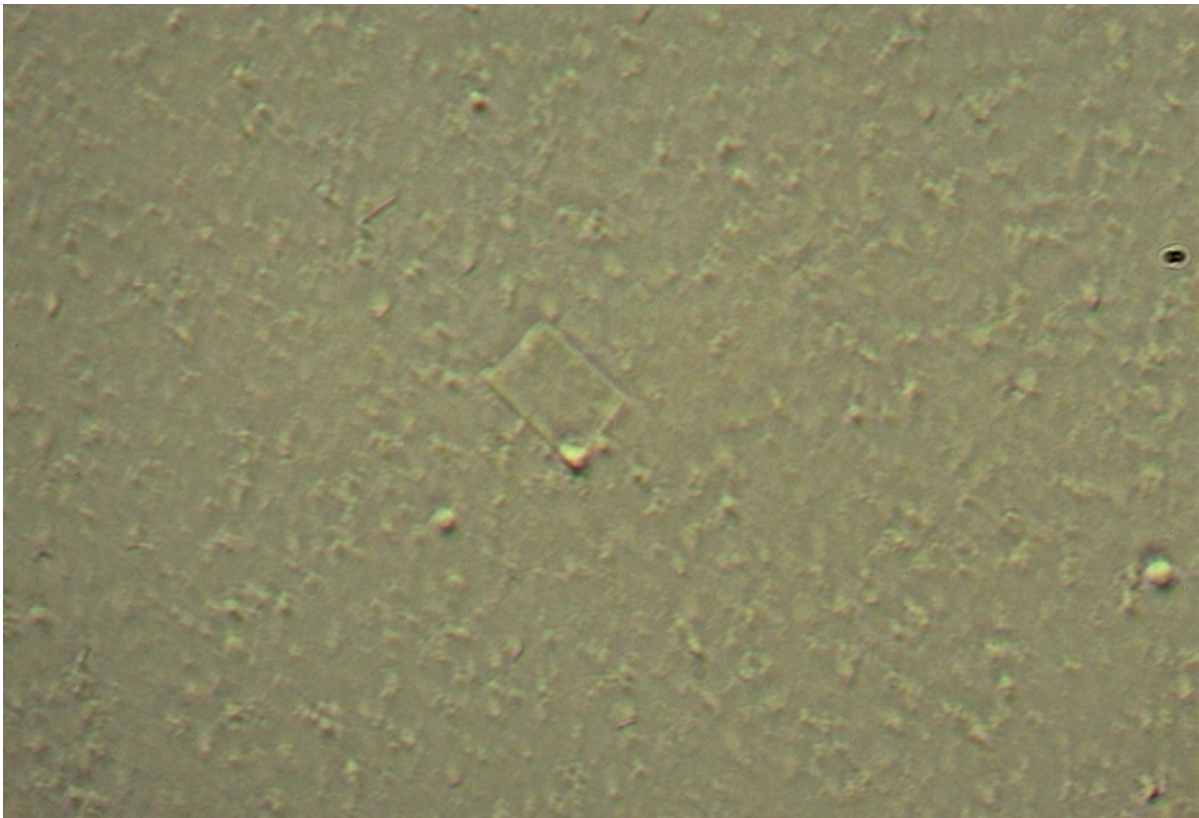
Photographie 20



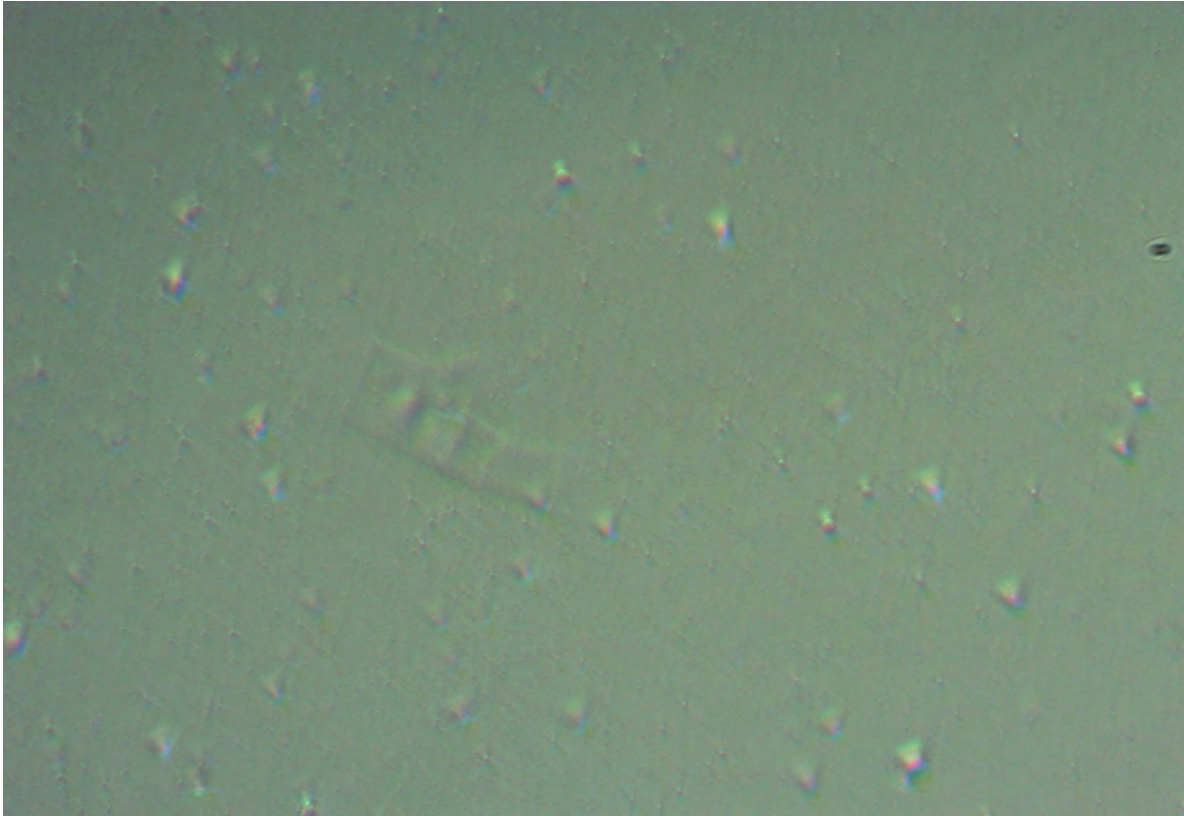
Photographie 21



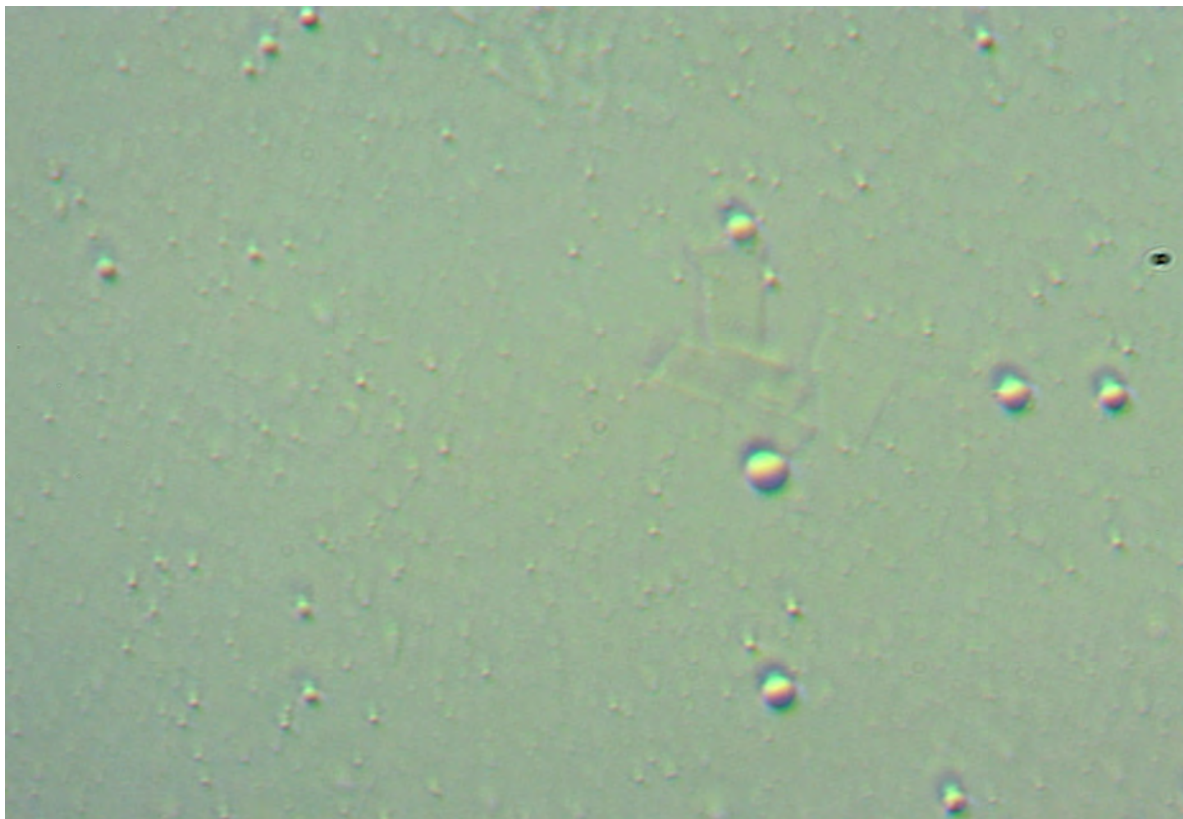
Photographie 22



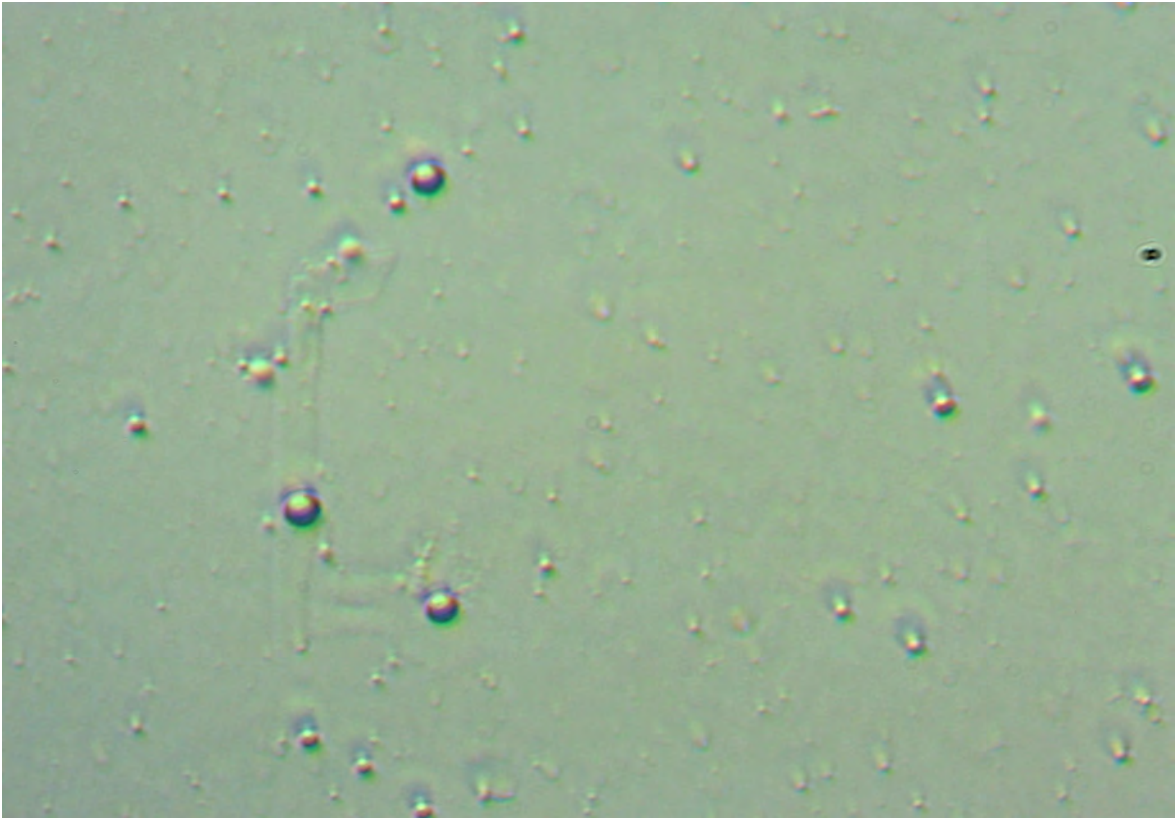
Photographie 23



Photographie 24



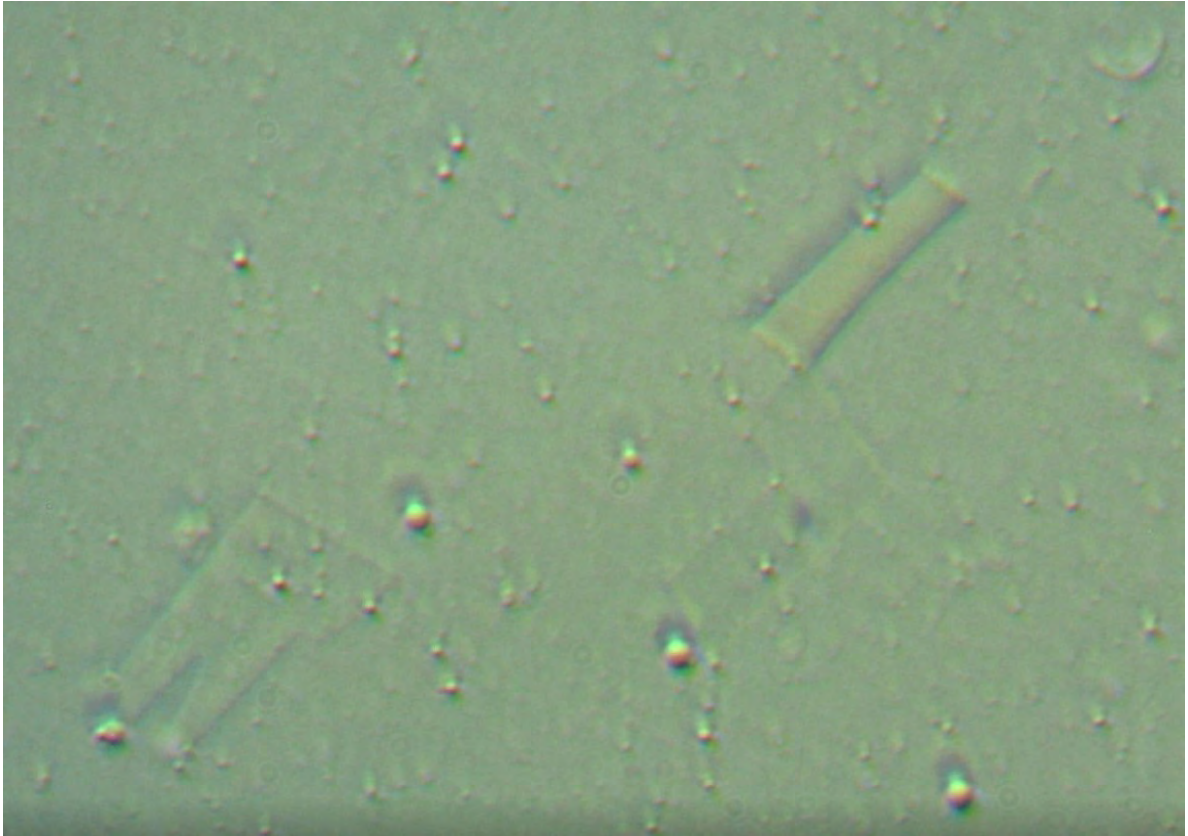
Photographie 25



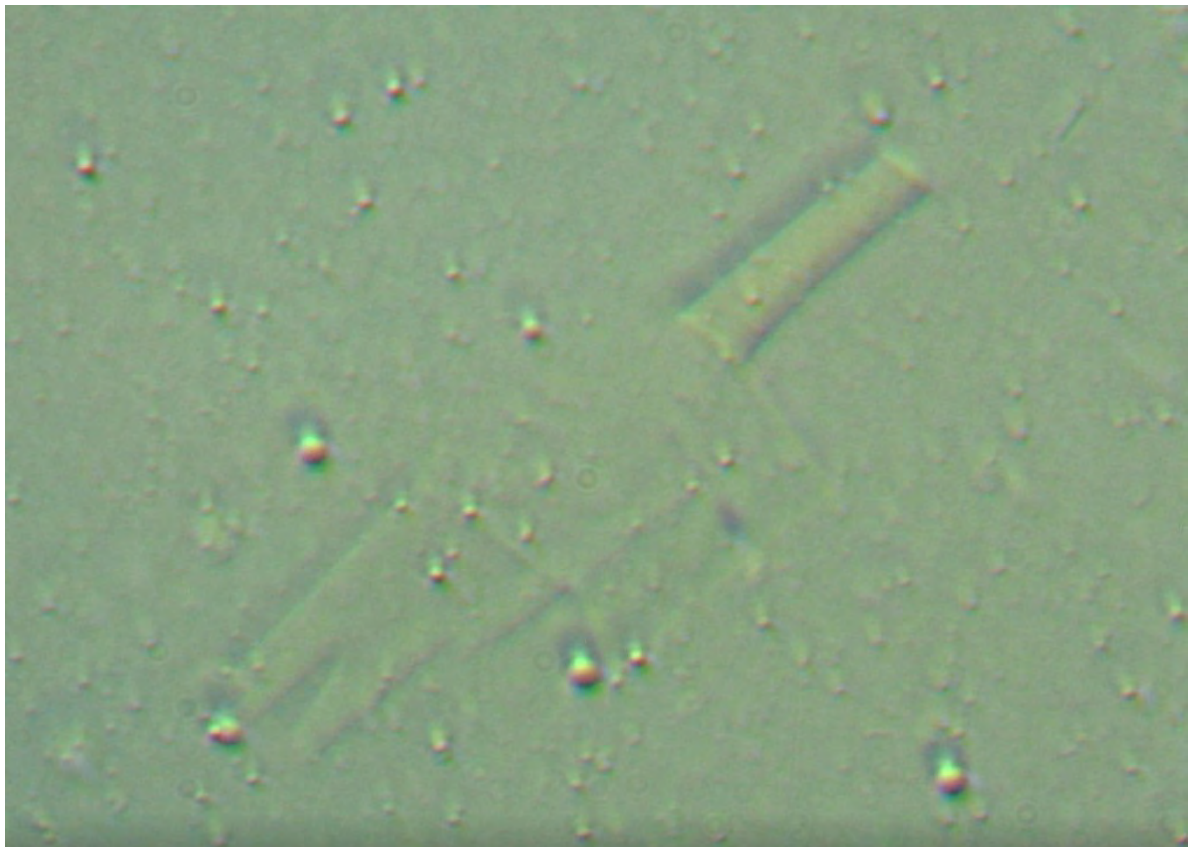
Photographie 26



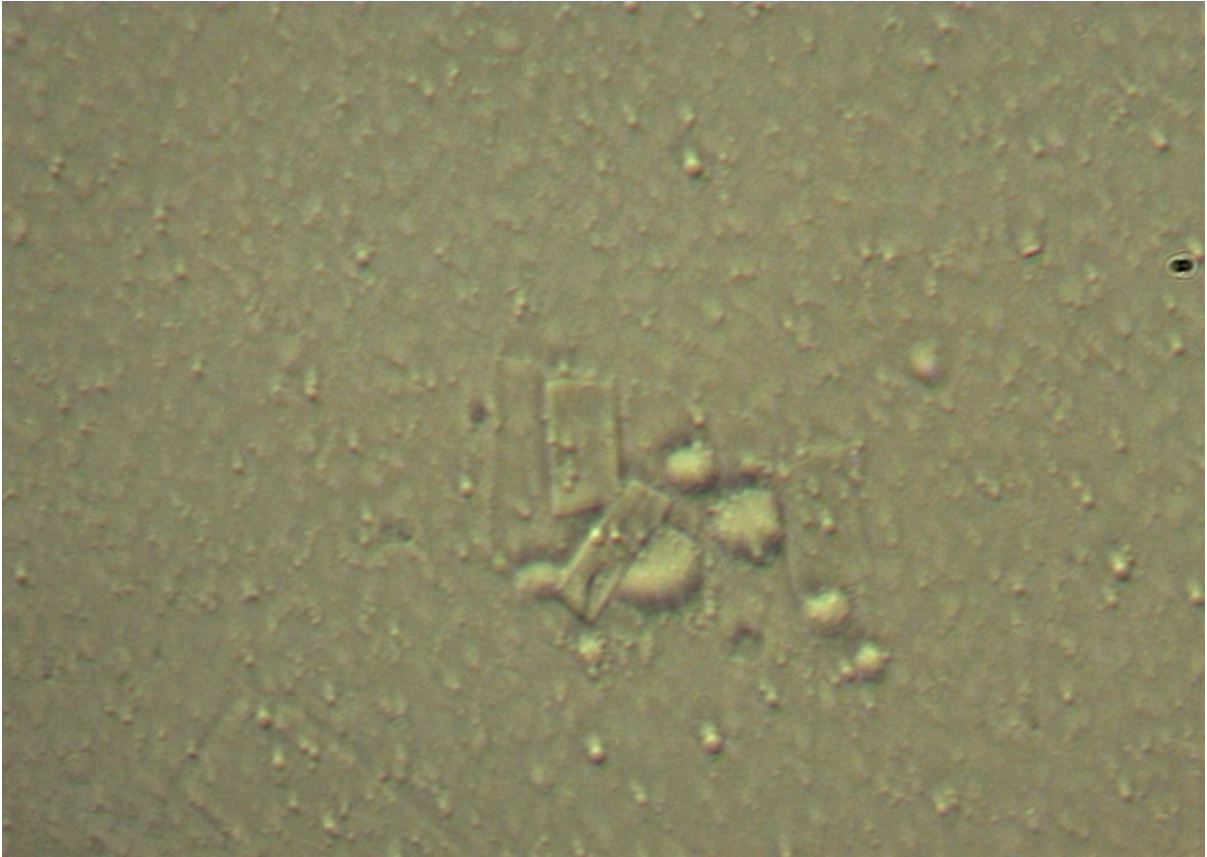
Photographie 27



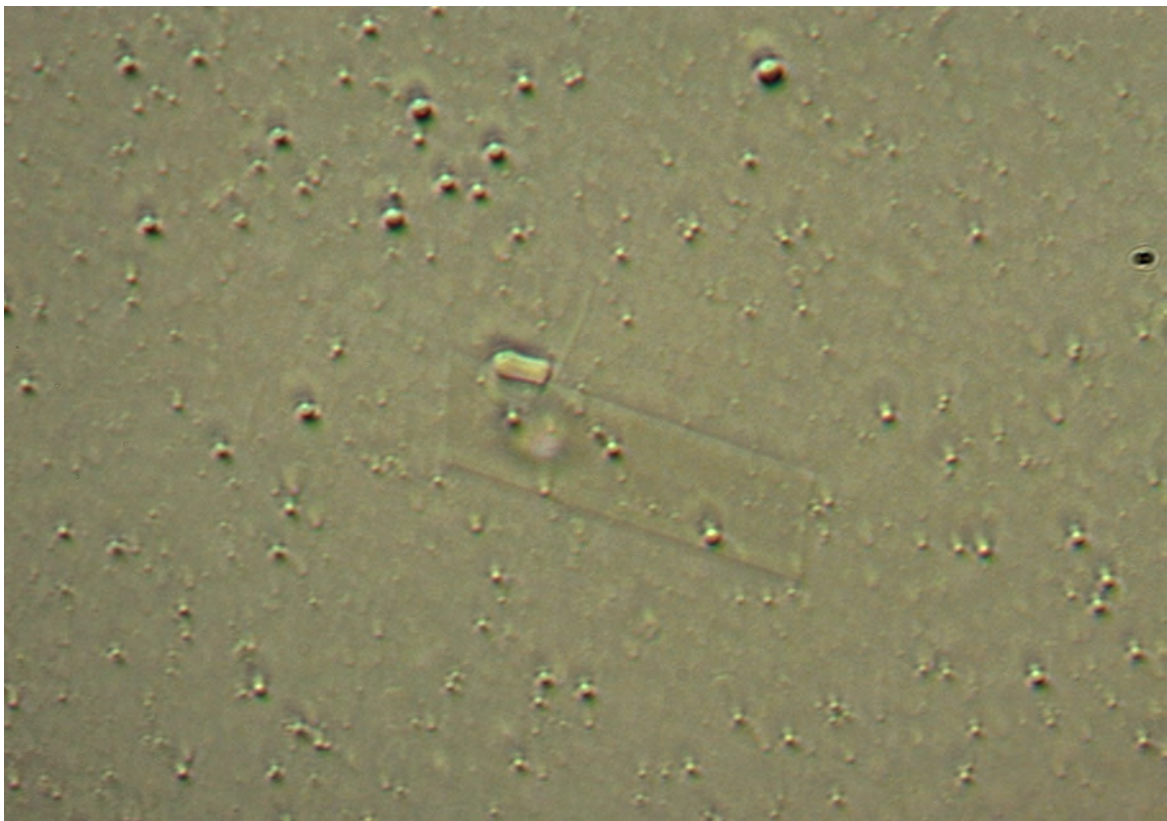
Photographie 28



Photographie 29



Photographie 30



Photographie 31

ANNEXE 3

IDENTIFICATION DE FORMES ARTIFICIELLES ET D'INDICES DE MICROTECHNOLOGIE DANS L'ÉCHANTILLON

Dans cette section, nous analysons toutes les structures dont l'origine est vraisemblablement artificielle. (Photos 32 - 49)

Note : Il convient de noter que, en aucun cas, celles-ci ne correspondent à des cristallisations connues sous le nom de saccharose.

Photographie 32

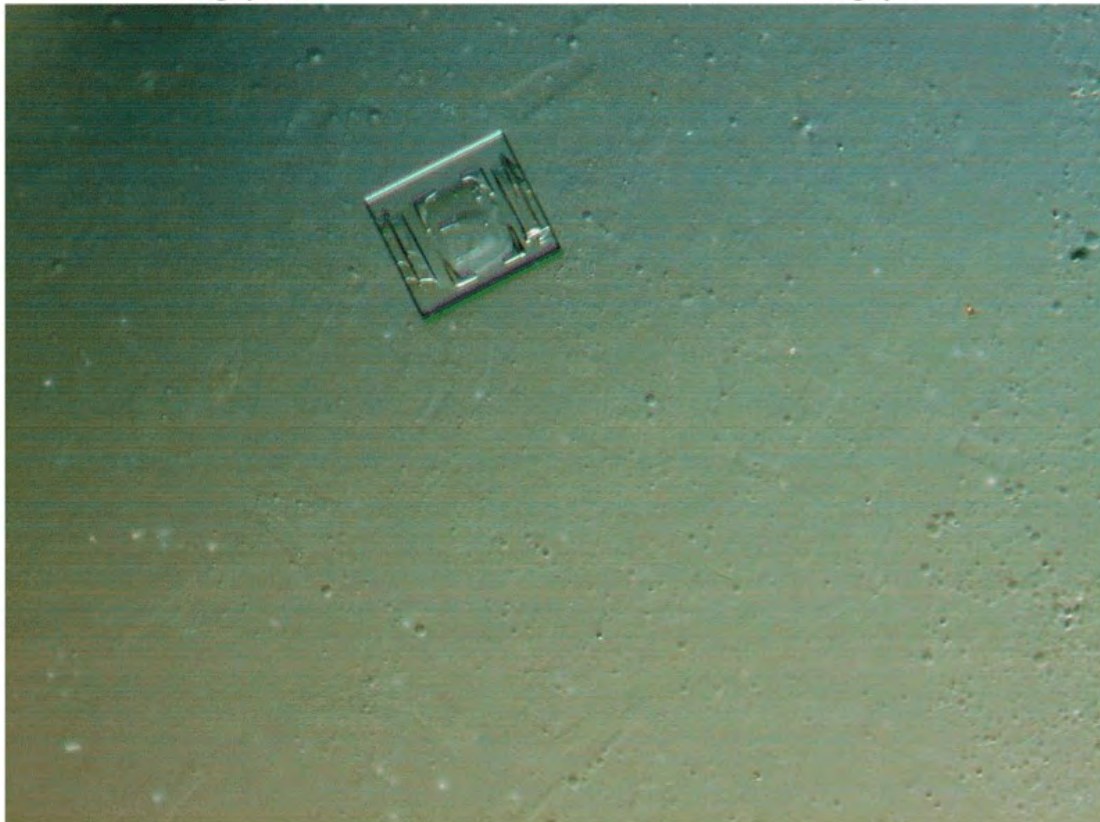


Photographie 33



Fotografia 32

Fotografia 33



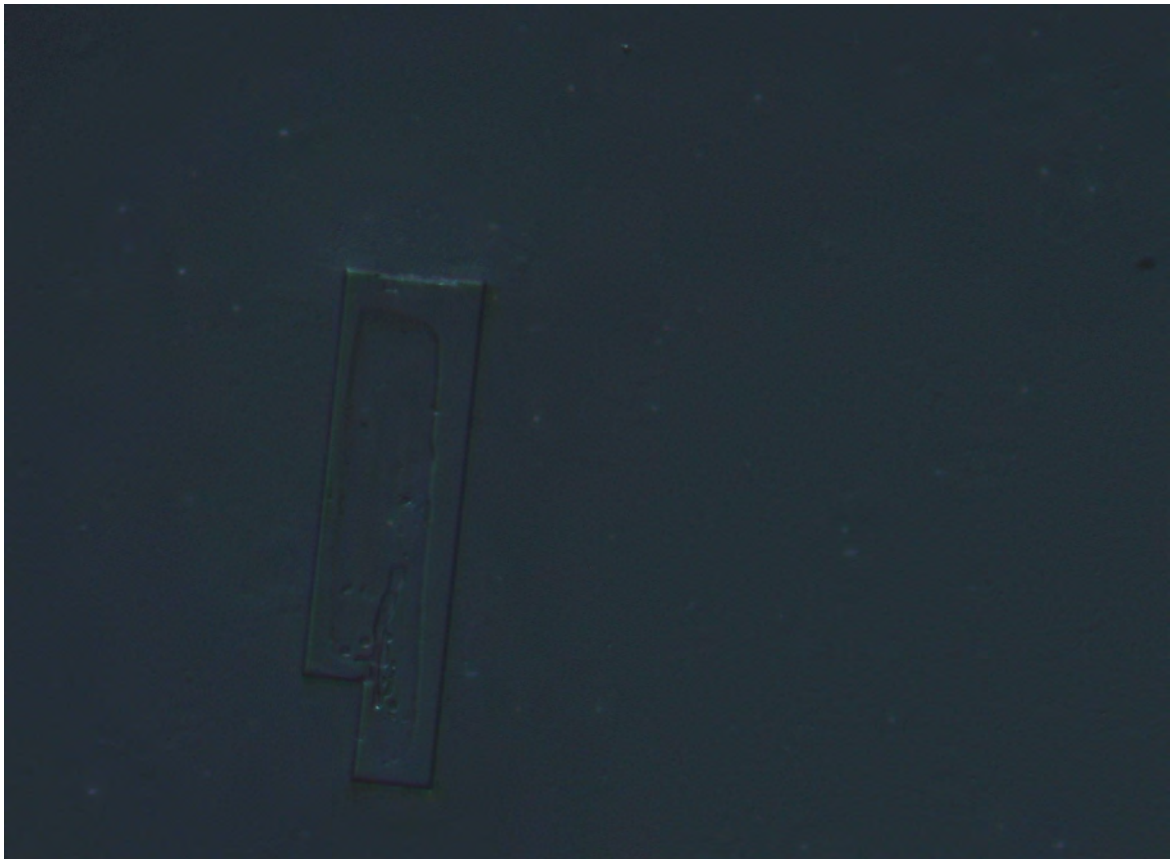
Photographie 34



Photographie 35



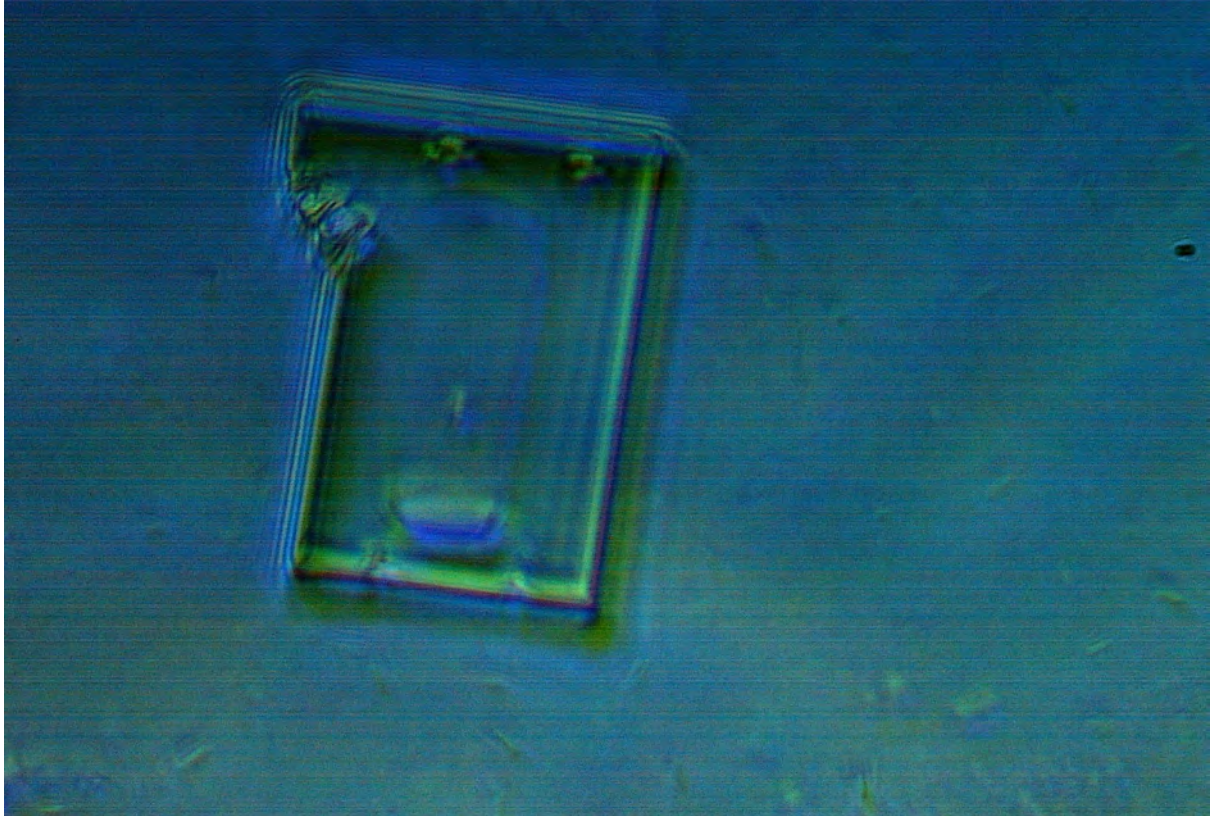
Photographie 36



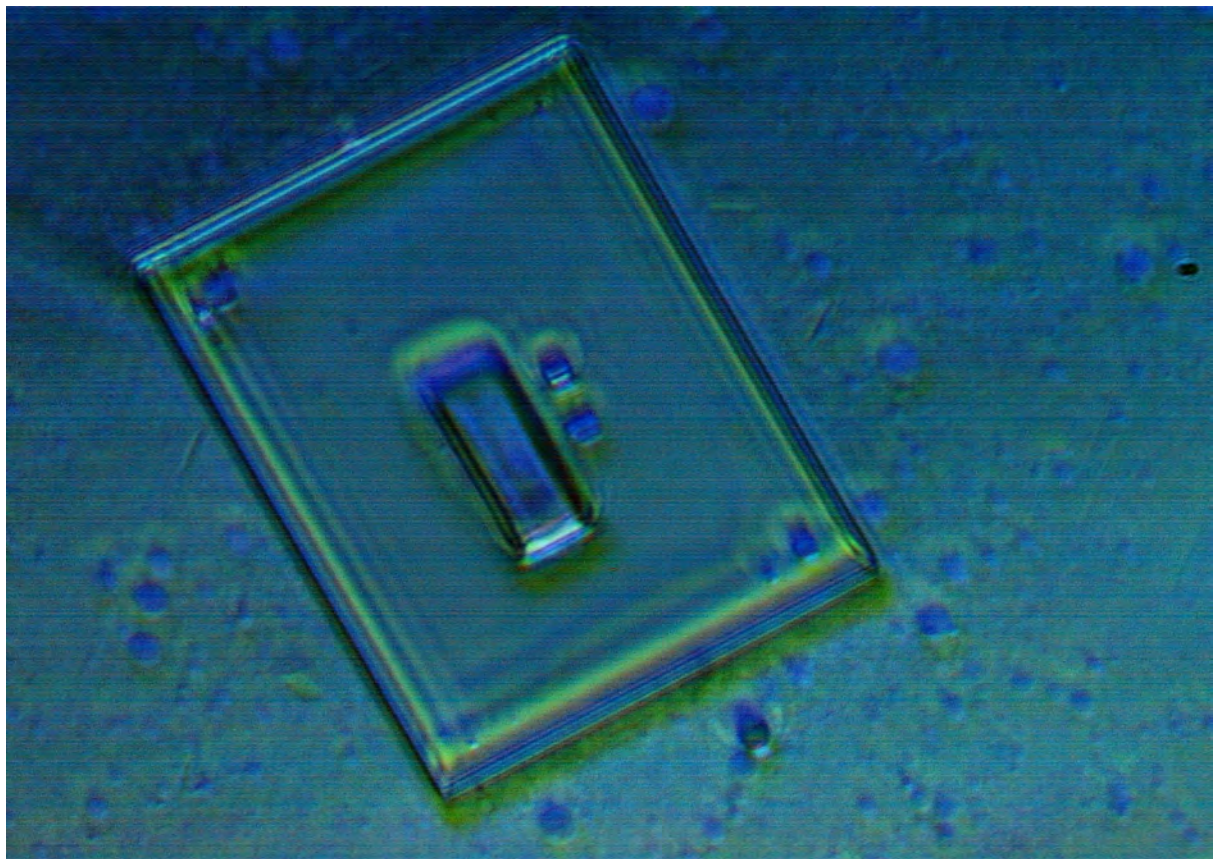
Photographie 37



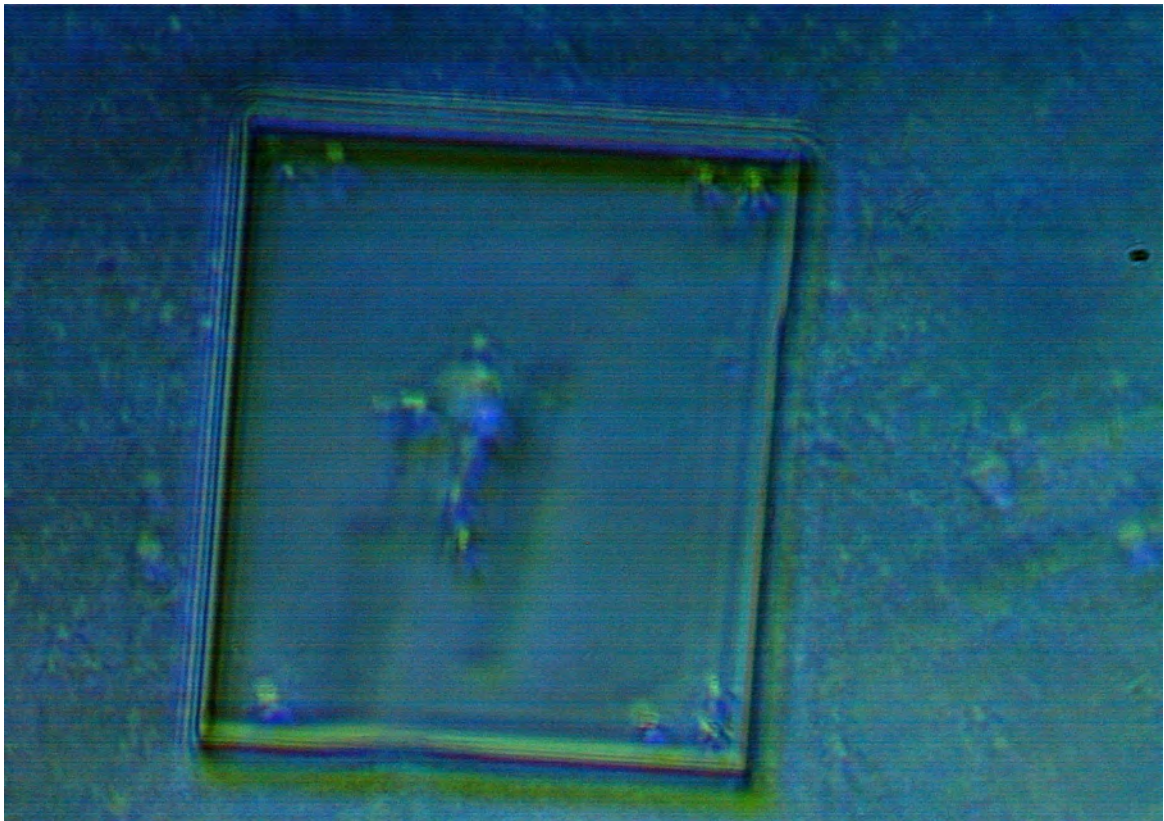
Photographie 38



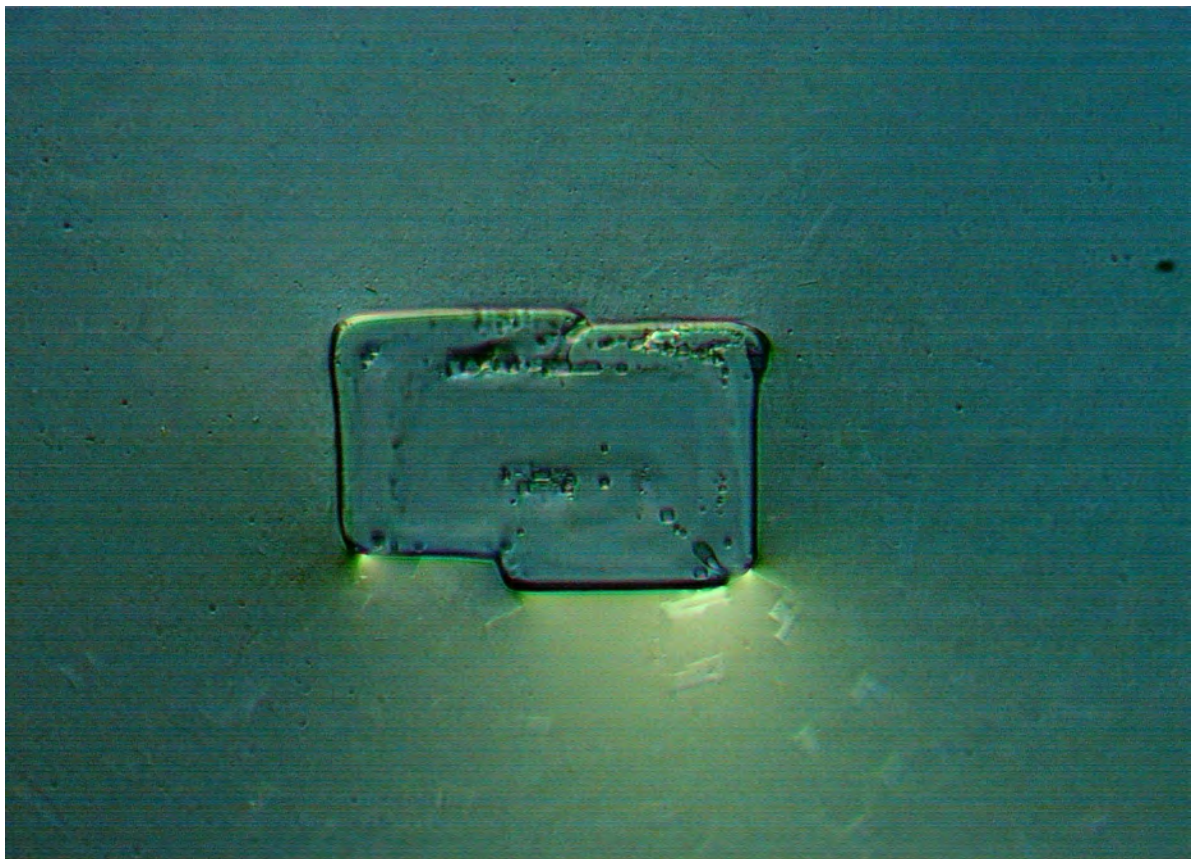
Photographie 39



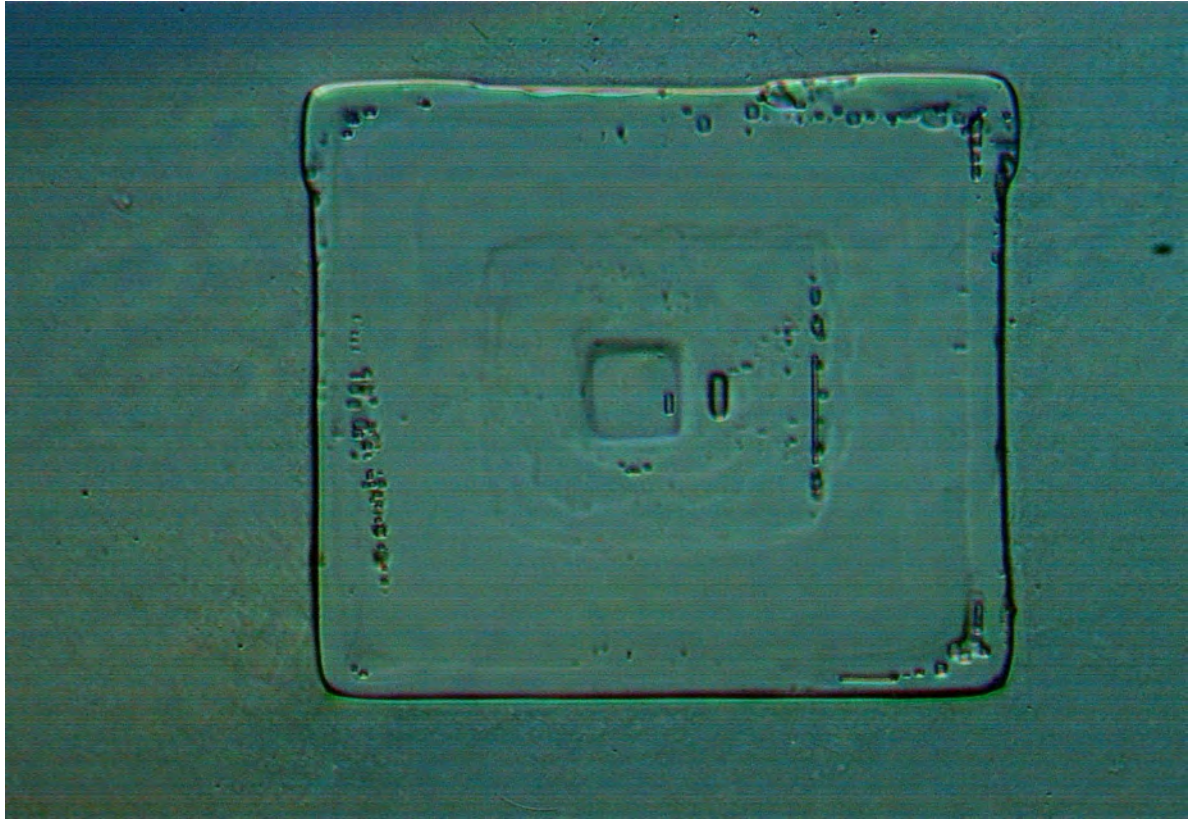
Photographie 40



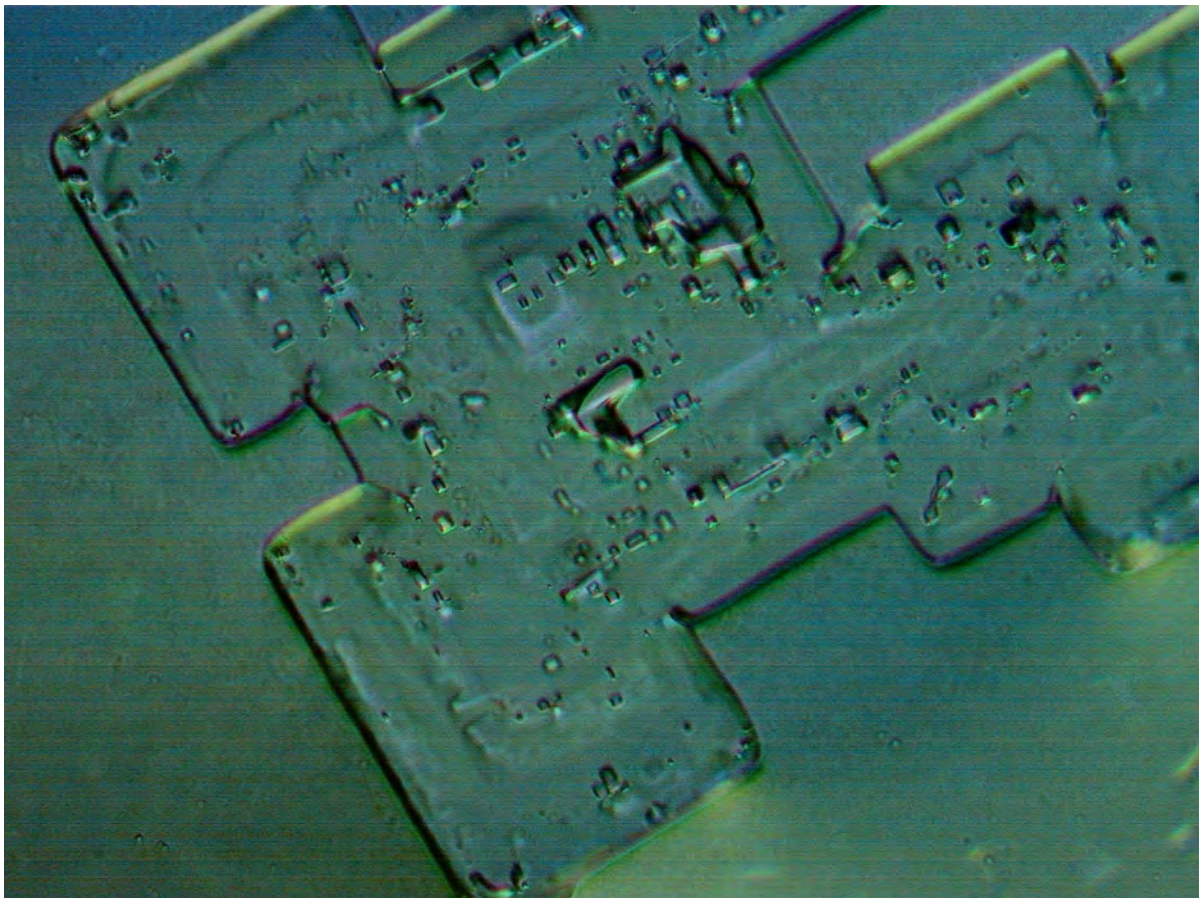
Photographie 41



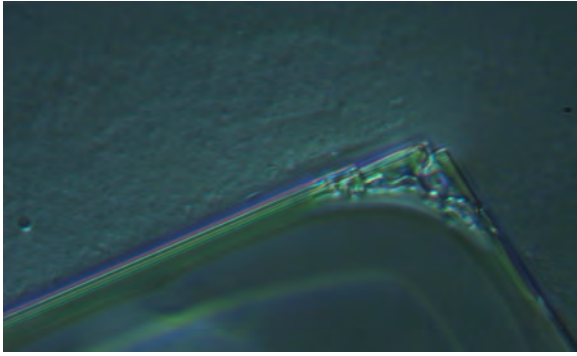
Photographie 42



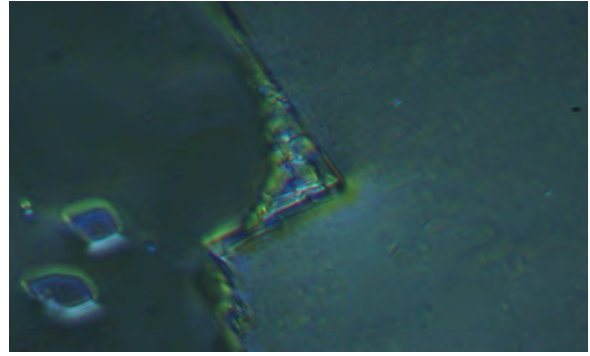
Photographie 43



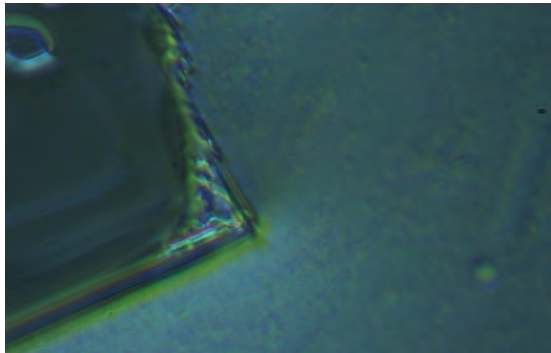
Photographie 44



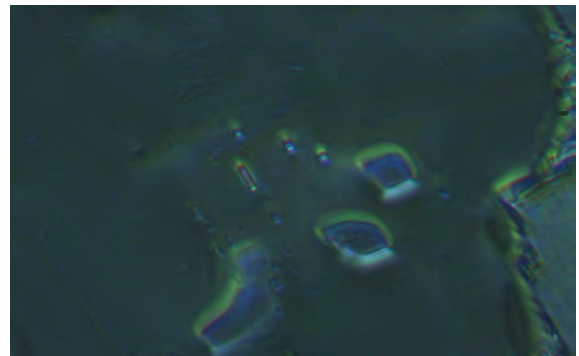
Photographie 45



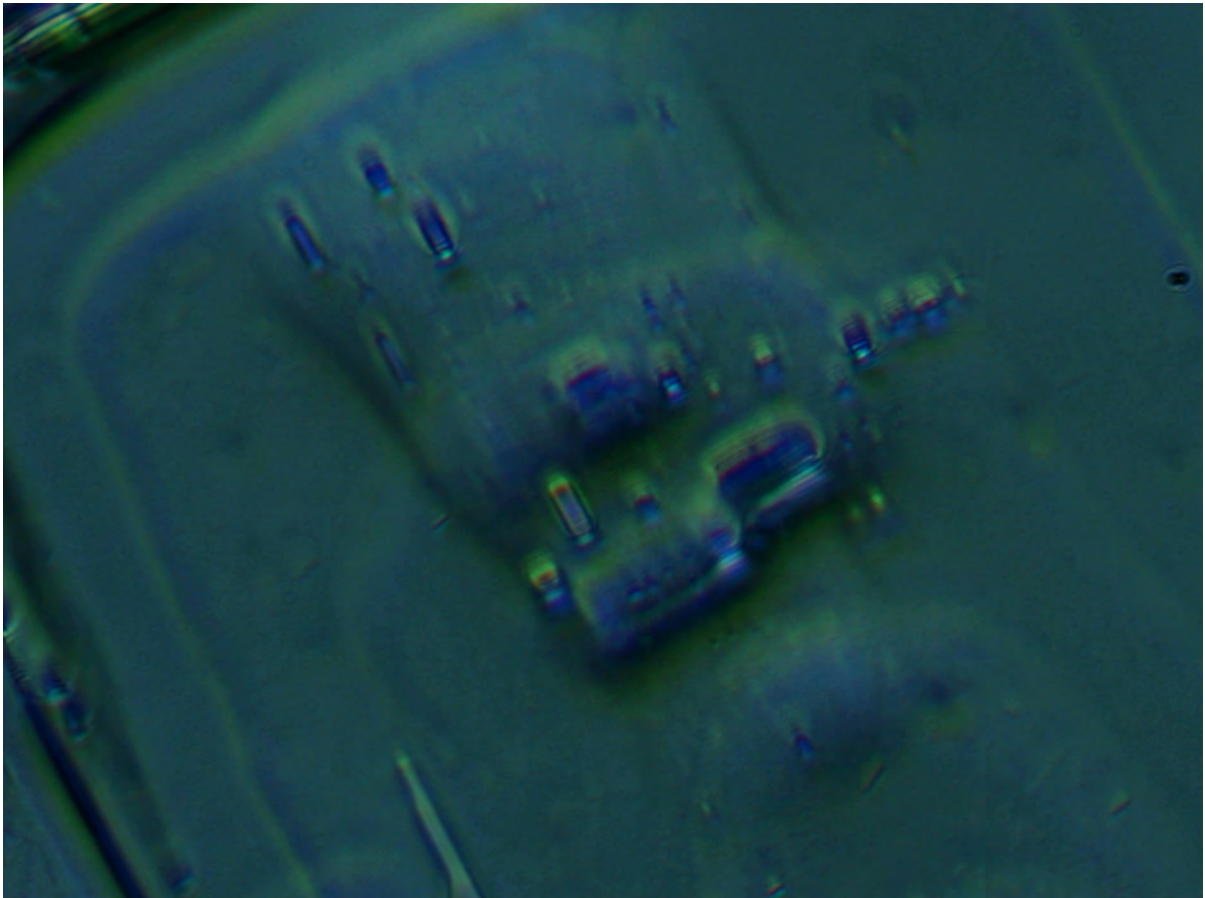
Photographie 46



Photographie 47



Photographie 48



Photographie 49

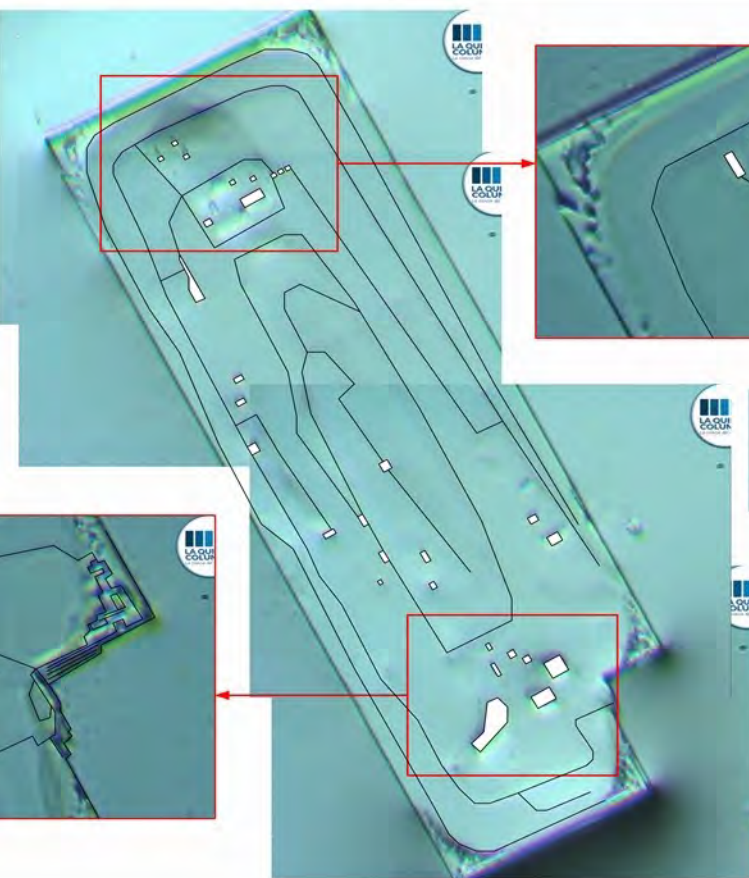
STRUCTURES ARTIFICIELLES OBSERVÉES DANS L'ÉCHANTILLON DU VACCIN DE PFIZER ET COMPARAISON DES IMAGES OBTENUES AVEC LA LITTÉRATURE SCIENTIFIQUE

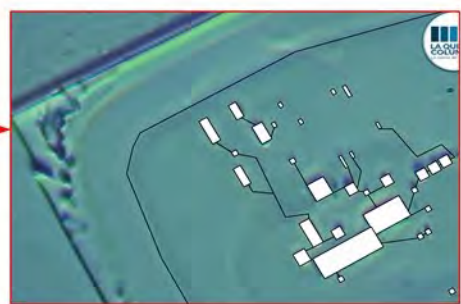
Structures observées dans l'échantillon de vaccin

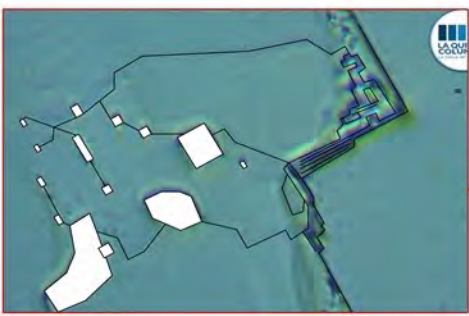
1) Une mosaïque a été créée pour obtenir une vue panoramique de l'objet.

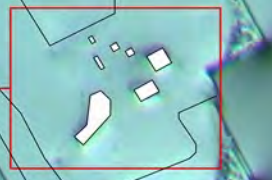
2) L'image de la structure observée sur l'objet a été dessinée.

3) La littérature scientifique est consultée afin de trouver des structures similaires pour l'identification







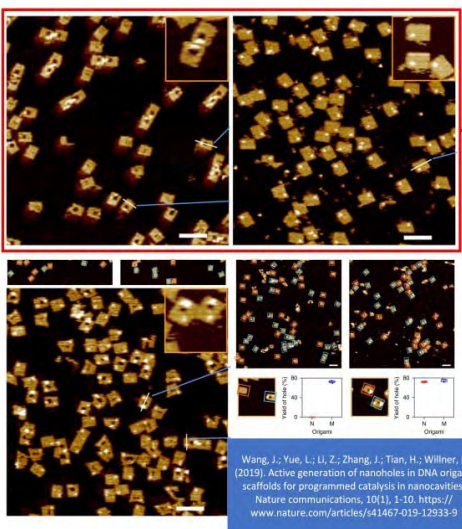


C0r0n@ 2 Inspect
Mik Andersen

Images du vaccin de Pfizer prises par Ricardo Delgado. L'échantillon sera présenté le 31 décembre 2021 dans le programme de La Quinta Columna.

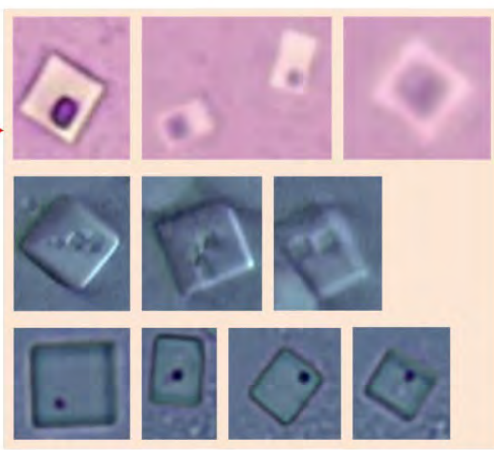
Fuente: [blob:https://t.me/c0r0na2inspect/202](https://t.me/c0r0na2inspect/202)

Littérature scientifique



Wang, J.; Yue, L.; Li, Z.; Zhang, J.; Tian, H.; Willner, I. (2019). Active generation of nanoholes in DNA origami scaffolds for programmed catalysis in nanocavities. Nature communications, 10(1), 1-10. <https://www.nature.com/articles/s41467-019-12933-9>

Littérature scientifique



(Campra, P. 2.021 et R. Delgado 2.022)

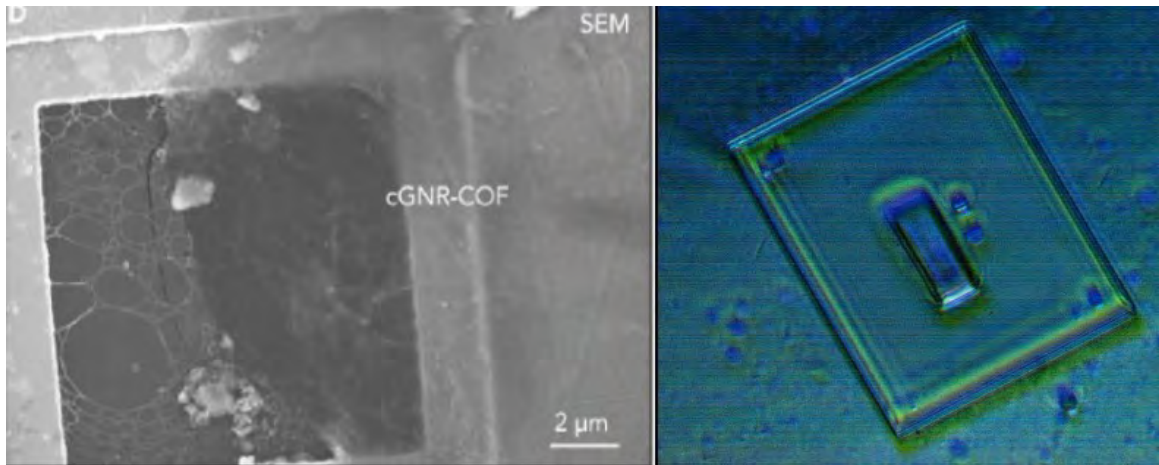
Traduction de courtoisie effectuée par l'équipe de traducteurs de La Quinta Columna. Lien vers le document original ici:

<https://www.laquintacolumna.info/docs/docs/delgado-informe-identificacion-micro-tecnologia-patrones-artificiales-en-vacuna-es.pdf>



Littérature scientifique

(R. Delgado 2.022)



Littérature scientifique

(R. Delgado 2.022)

Echantillons de la solution vaccinale	Littérature scientifique
<p data-bbox="247 1792 414 1870">(Rong, Z.; Leeson, M.S.; Higgins, M.D.; Lu, Y. 2018)</p>	<p data-bbox="997 1926 1157 1960">{Campra, P. 2021}</p>

1. CONCLUSIONS FINALES

Sur la base de cette étude et du rapport sur ce qui a été observé dans les échantillons, nous pouvons tirer les conclusions suivantes:

Le graphène présent dans les flacons a pour but d'amplifier les signaux micro-ondes dans la gamme GHz actuelle provenant des antennes de téléphonie mobile à l'échelle THz, ce qui permettra le bon fonctionnement de toute les **microtechniques** collectées dans la littérature scientifique et très probablement observables dans les échantillons analysés dans ce rapport.

"EEWNSN: Energy Efficient Wireless Nano Sensor Network MAC Protocol for Communications in the Terahertz Band"
<https://dl.acm.org/doi/10.1007/s11277-017-4517-4>. Negar Rikhtegar, Manijeh Keshtgari and Zahra Ronaghi (Novembre 2.017)

Cela explique le fait que la plupart des personnes « vaccinées » avec cette technologie, alimentée électroniquement par le graphène introduit dans les flacons, **émettent en plus des** adresses MAC **qui sont enregistrées dans la technologie sans fil Bluetooth**, comme chacun peut désormais le vérifier, sans qu'aucune autorité ne se soit prononcée sur le sujet ni aucun des médias de « communication » officiel.

Quelques-unes parmi les nombreuses publications scientifiques concernant l'utilisation des protocoles MAC pour les micro-réseaux utilisant du graphène peuvent être consultées ici:

"MAC protocols for Wireless Nano-sensor Networks: Performance analysis and design guidelines".
<https://ieeexplore.ieee.org/document/7470805?arnumber=7470805>. Rawan Alsheikh, Nadine Akkari and Etimad Fadel. (2.016)

"Directional MAC approach for wireless body area networks". <https://pubmed.ncbi.nlm.nih.gov/22346602/>. Md Asdaque Hussain, Md Nasre Alam and Kyung Sup Kwak. (2.011)

"A very low power MAC (VLPM) protocol for Wireless Body Area Networks". <https://pubmed.ncbi.nlm.nih.gov/22163818/>
Niamat Ullah, and Kyung Sup Kwak. (2.011)

Il est très remarquable que, selon la société Pfizer elle-même, on nous parle **de nanoparticules lipidiques** dans la composition et que par conséquent sur le plan microscopique, nous ne devrions rien observer.

Cependant, la vaste galerie de microphotographies enregistrées dans ce rapport montre qu'il existe de nombreuses particules de taille microscopique, clairement visibles avec cet objectif.

La présumée composition des flacons analysés et commercialisés sous le nom de « **Comirnaty mRNA COVID19** » publiée par l'Agence européenne des médicaments, la société pharmaceutique elle-même et d'autres agences de « contrôle » réglementaires **ne concorde pas** avec ce qui est montré dans ce rapport.

BIBLIOGRAPHIE CONSULTÉE

"Radio-frequency characteristics of graphene oxide". <https://aip.scitation.org/doi/10.1063/1.3506468>

Whan Kyun Kim, Young Mo Jung, Ji Yoong Kang, Ju Yeong Oh, Hosung Kang, Hee-Jo Lee, Jae Hun Kim, Seok Lee, H. J. Shin, J. Y. Choi, S. Y. Lee, Y. C. Kim, I. T. Han, J. M. Kim, Jong-Gwan Yook, Seunghyun Baik, and Seong Chan Jun (2.010)

"Analysis of Graphene Antenna Properties for 5G Applications".

https://www.researchgate.net/publication/337093683_Analysis_of_Graphene_Antenna_Properties_for_5G_Applications

Siti Nor Hafizah Sa'don, Mohd haizal Jamaluddin, Muhammad Ramlee Kamarudin, Fauzan Ahmad (Noviembre 2.019)

"Material advancement in technological development for the 5G wireless communications".

<https://www.degruyter.com/document/doi/10.1515/ntrev-2020-0054/html>. Huali Hao, David Hui and Denvid Lau (2.020)

"La visión de la nanotecnología para las radiocomunicaciones en los próximos años. Una perspectiva desde la academia".

https://www.researchgate.net/publication/323196338_La_vision_de_la_nanotecnologia_para_las_radiocomunicaciones_en_los_proximos_anos_Una_perspectiva_desde_la_academia. Andrés García y Leonardo Betancur (Junio 2.017)

"CRISPR-Cas9 Activated Graphene Biointerfaces for Capture and Real-Time Monitoring of Cell-Free DNA on a

Microneedle Patch". [https://www.researchgate.net/publication/351605243_CRISPR-](https://www.researchgate.net/publication/351605243_CRISPR-Cas9_Activated_Graphene_Biointerfaces_for_Capture_and_Real-Time_Monitoring_of_Cell-Free_DNA_on_a_Microneedle_Patch)

[Cas9_Activated_Graphene_Biointerfaces_for_Capture_and_Real-Time_Monitoring_of_Cell-Free_DNA_on_a_Microneedle_Patch](https://www.researchgate.net/publication/351605243_CRISPR-Cas9_Activated_Graphene_Biointerfaces_for_Capture_and_Real-Time_Monitoring_of_Cell-Free_DNA_on_a_Microneedle_Patch).

Jilie kong (Abril 2.021)

"Design of Wireless Nanosensor Networks for Intrabody Application".

https://www.researchgate.net/publication/282476793_Design_of_Wireless_Nanosensor_Networks_for_Intrabody_Application. Suk

Jin Lee y Changyong (Andrew) Jung (Julio 2.015)

"DNA-assembled advanced plasmonic architectures". <https://www.ncbi.nlm.nih.gov/labs/pmc/articles/PMC6546600/>

Na Liu y Tim Liedl (Enero 2.018)

"Electromagnetic wireless nanosensor networks". <https://www.sciencedirect.com/science/article/abs/pii/S1878778910000050>

Ian F. Akyildiz and Josep Miquel Jornet (Marzo 2.010)

"Recent Progress in Radio-Frequency Sensing Platforms with Graphene/Graphene Oxide for Wireless Health Care

System". [https://www.researchgate.net/publication/349912462_Recent_Progress_in_Radio-](https://www.researchgate.net/publication/349912462_Recent_Progress_in_Radio-Frequency_Sensing_Platforms_with_GrapheneGraphene_Oxide_for_Wireless_Health_Care_System)

[Frequency_Sensing_Platforms_with_GrapheneGraphene_Oxide_for_Wireless_Health_Care_System](https://www.researchgate.net/publication/349912462_Recent_Progress_in_Radio-Frequency_Sensing_Platforms_with_GrapheneGraphene_Oxide_for_Wireless_Health_Care_System). Hee-Jo Lee (Marzo 2.021)

"Synthesis and Toxicity of Graphene Oxide Nanoparticles: A Literature Review of In Vitro and In Vivo Studies".

<https://www.hindawi.com/journals/bmri/2021/5518999/>. Asmaa Rhazouani, Halima Gamrani, Mounir El Achaby, Khalid

Aziz, Lhoucine Gebrati, Md Sahab Uddin and Faissal AZIZ (2.021)

DELGADO MARTIN
RICARDO - 79202099N

Firmado digitalmente por
DELGADO MARTIN RICARDO -
79202099N

Fecha: 2022.01.13 18:10:51 +01'00'